

パートン模型と光円錐代数について

角藤 亮

Contents

§1. Introduction

§2. Kinematics of lepton-hadron collisions

§3. Quark parton model

§4. Fritsch-Gell-Mann light-cone algebras
and lepton-hadron collisions§5. Pestieau's speculation and structure
tensors

§6. On the nucleon Compton scattering

§7. On the ps-meson-nucleon collisions

§8. Concluding remarks

要旨

我々はこの論文でまず、重非弾性レpton
ハドロン散乱に注目し、実験的に明らかにさ
れた構造関数の scaling rule を説明する二
つの方法について要約し、2~3の問題点を
指摘する。我々の述べる二つの方法のうち
の一つはクォークパートン模型であり、もう
一つは Fritsch と Gell-Mann ($\equiv \text{FGM}$)
によって提唱された光円錐代数を用いるもの
である。クォークパートン模型に於ては、陽
子が uud の他は SU_3 singlet cloud ででき
て、 γ とすれば $\int_0^1 \{F_2^{ep}(\eta) - F_2^{en}(\eta)\} d\eta / \eta = 1/3$
($\eta = -q^2/2M\nu$) なる和則が成立しなければ
ならぬが、現在のデータはこの和則は成立
しないことを示唆している。また、最近
の実験で明らかとなる $R_s \equiv [\sigma^{vp} + \sigma^{vn}] /$
 $[\sigma^{vp} + \sigma^{vn}] \approx 1/3$, $[\sigma^{vp} + \sigma^{vn}] / 2$
 $\approx (G^2 M_E / \pi) \times 0.46$ という事実と、
SLAC でのデータ $\int_0^1 [F_2^{ep}(\eta) + F_2^{en}(\eta)] d\eta \approx 0.3$

これをクオーカーパートン模型で統一的に説明することは困難であることを我々は指摘する。

クオーカーパートン模型の批判的概観の次に我々はFGMの方法でレプトン-ハドロン散乱過程を記述し、一定の成功に注意を払つた後、mass-shell 上にある粒子の散乱に対するもく断面積の高エネルギーにおけるふるまいは光円錐上の特異性によって決定される可能性があるといふ Pestieau の仮説を取り入れ、現在の SLAC-EN データを認めたりえて“光子(中間子)-核子散乱の全断面積の高エネルギーでのふるまいを FGM 式数で記述することを試みる。結論として我々は適当な scale breaking masses を導入すれば“これが可能であることを示す。我々は導入された scale breaking masses を、相互作用する場に特有な effective quark mass であると解釈するが、電磁相互作用に対する核子内の effective quark mass は M / μ_p (M : 核子の質量, μ_p : 陽子の磁気モーメント) に一致するこ

とが示された。 M/μ_p という質量はオーラー模型で核子の磁気モーメントを説明するためには必要なオーラーの質量であり、我々の解釈による effective quark mass がこれに一致することはさむめて興味深いといえよう。また擬スカラ一中間子-核子散乱を記述する際に $\rho\rho$ 擬スカラ一結合定数が、 πNN 擬スカラ一結合定数にくらべてはるかに小さいという結論を得るが、我々はこのことが不自然ではないことを Iizuka と Okamura によてみちびかれた非相対論的 SU_6 模型に於ける簡便式を用いることによりて説明する。

パートン模型と光円錐代数について

角藤亮

§1 Introduction

良く知られているように、SLAC に於ける重非弾性電子核子散乱の実験結果は様々な理論的興味を呼び起してきたり¹⁾。諸々の実験結果のうち最も注目されたのは Bjorken より予言された、構造関数に対する所謂 scaling rule が実験的に証明されたことである²⁾。重非弾性電子核子散乱に於ける scaling rule とは簡単にいえば核子の構造関数 $MW_1^{eN}(q^2, \nu)$ 、 $MW_2^{eN}(q^2, \nu)$ が $\eta = -q^2/2M\nu$ だけの関数になるとという事である。(Fig. 1 参照)

Fig. 1

notations については §2. で定義される。

Scaling rule を最も単純に、直観的に説明する模型は Feynman のパートン模型である。³⁾

パートン模型に於ては、核子内に構造をもたない構成粒子を考へ、断面積はこれらの一つ一つの構成粒子による寄与のインコヒーレント和として計算される。一方別のやり方として、パートン模型とはとんど同等ではあるが、scaling rule を座標空間で理解し、演算子の交換子の光円錐上での特異性を基礎として議論を展開する方法がある⁴⁾。このような分析の結果、重非弾性電子核子散乱で観測されていきる scaling rule を説明するためには、電磁カーレントの交換子は光円錐上に自由場の特異性をもたねばならぬことが明らかとなつた。⁴⁾そこで光円錐上の特異性にまとめて一般的議論だけでは、自由場の特異性をもつては scaling rule がみたされるといふことがいえるぐらゐで、予言能力はあまりないのだ"か"、Fritzsch と Gell-Mann (\equiv FGM) は、自由クォークの場の理論にまとづいて、クォークパートン模型と同程度の予言能力をもつ所謂光円錐代数を提唱し、重非弾性過程をきめめてエレガントに

No. 3

記述した。⁵⁾

このようにして重非弹性レpton-ハドロン散乱の研究から、今までには知られていないかった知識が蓄積され、現象の新しい記述方法が開発されてきたが、これらの方針をハドロン散乱過程に適用する試みも今までにくわくらかになされている。^{6)~8)} 例えば Iizuka と Okamura はレpton-ハドロン散乱で明らかとなつた leading light-cone singularities (\equiv LLCS) が、ハドロン散乱の全断面積にどのような効果を与えるかを、彼らの以前のレpton-ハドロン散乱の分析と結びつけて調べた。⁸⁾⁹⁾ 彼らの結果によるとハドロン散乱またはコンプトン散乱の全断面積の高エネルギーに於ける continuum のうち non-diffractive component はほとんど LLCS からの寄与によって決まってしまつことになつている。⁸⁾ ただし彼らはこの結果を得るためにあたって

$$\Delta F_2^{eN}(\eta) \equiv F_2^{ep}(\eta) - F_2^{en}(\eta) \simeq 0.33\sqrt{\eta} \quad (\eta: \text{小}) \quad (1.1)$$

No. 4

であることを仮定した。(1.1) は Iizuka, Kobayashi 及び Nitto の分析で得られた結果である。⁹⁾ ところが現在の SLAC に於けるデータに従する限り(1.1) は成立してない。¹⁰⁾ 断定的なことはいえないが、 η が小さくなると(1.3) で $\Delta F_2^{eN}(\eta) \propto \sqrt{\eta}$ であるという Regge behavior を仮定する限り、今のデータを最もよく反映する形は

$$\Delta F_2^{eN}(\eta) \sim 0.1 \sqrt{\eta} \quad (\eta \lesssim 0.1) \quad (1.2)$$

であるようと思える(Fig. 2). ¹⁰⁾

Fig. 2

したがってもし現在の SLAC に於けるデータを重大に考えるとするならば Iizuka と Okamura (\equiv IO) による分析のうちいくつかの結果は変更を余儀なくされよう。

ところで一方 Pestieau は、場の理論に於ては波束を用ひなければならぬといふことに注目し、高エネルギーに於ける諸現象は LLCS からの寄与だけですべて記述できる可能性か

あることを指摘した。¹¹⁾ 我々はこの論文で、レpton-ハドロン散乱過程を直接の契機として生じてきたクォークパートン模型とFGM の光円錐代表数の諸性質を引か立て若干の問題点を指摘した後、Pestieau の仮説に従い光子(中性子)-核子散乱の全新面積の高エネルギーに於けるふるまいを(1.2)を認めた上でLLCS からの寄与で記述することを試みることにする。その際 Diffractive component も non-diffractive component と同時に記述するこという立場をとることにしよう。

我々は FGM の光円錐代表数に scale breaking mass κ を導入するが⁸⁾、これがすべての γ^* 及び κ が共通であるとはしないで、パラメータとして扱うことにする。物理的にはこれを相互作用する場に特有なクォークの effective mass であると考える。こうすると電磁相互作用に対するのはこの effective quark mass が M/μ_p に一致することがわかる。ここで M は核子の質量であり、 μ_p は陽子の磁気

モーメント ($\mu_p = 2.79$) である。 M/μ_p とい
う質量はちょうど static quark model で核
子の磁気モーメントの絶対値を説明するとき
に必要な quark mass であり、我々の定義に
よる effective quark mass がこれと一致する
ということは偶然であるかも知れないが、可
能めて興味あることであるといえよう。

このようにして我々のやり方ではほぼ光子
(中性子)-核子散乱の全断面積の高エネルギー
における F_2 を記述することができる
けれども、(1.2) から出発したことが直接の原
因となって、ふつうの考え方からすると非常
に気持ちの悪い臭が生じてくる。つまり $F_2^{eN}(\eta)$
への Pomeron からの寄与がかなり η に依存す
る項をもたらすを得ないといふことである。

このことは (1.2) を認め、FGM 光円錐代替
でハドロン散乱の高エネルギーにおける F_2
を記述しようとする限り避けることはで
きぬ結果である。しかしながら我々はこの
項を、現在の $e\bar{p}$ -データの正確さの範囲内で¹⁾

コンピュートン散乱またはハドロン散乱の全断面積の高エネルギーに於ける ρ/ρ_0 まいに対する §3 のつかの Regge parametrization をこわさないように入れることができあることを示す。

この論文は次のよう構成されている。

§2 では後の議論に必要な範囲内でかんたんレプトン-ハドロン散乱過程の運動学についてまとめる。§3 で我々は $\gamma - \gamma$ パートン模型をレプトン-ハドロン散乱に適用した結果についてまとめ、若干の問題点を指摘する。次に §4 に於て FGM 光円錐代数についてかんたんに述べた後、パートン模型と対比させながらこれを用いてレプトン-ハドロン散乱過程を記述する。§5 ではハドロン散乱の場合も断面積の高エネルギーに於ける ρ/ρ_0 まいは LLCS で決定される可能性があるという Petician の仮説に述べた後、FGM の光円錐代数に scale breaking mass を導入し、後の節で用いる構造テンソルへの LLCS からの寄与を計算する。§5 の結果にもとづいて §6 と §7

では Compton 散乱と擬スカラ - ($\equiv ps$) 中間子 - 核子散乱の全断面積の高エネルギーに於ける小さな差を LLCS から寄与で説明することを試みる。最後の節では主として §5~§7 で得られる諸結果について若干の注意と評価を行いたいと思う。

§2. Kinematics of lepton-hadron collisions

この節ではレpton-ハドロン散乱の運動学について簡単にまとめることにする。¹²⁾ 核子の運動量及び質量を p, M ; 始状態にあるレpton から hadronic state へ移る運動量を q , 始状態にあるレpton の実験室系に於けるエネルギーを E としよう (Fig. 3 参照)。

Fig. 3

(a) 電子-核子散乱

最初に

No. 9

$$\begin{aligned} W_{\mu\nu}^{eN}(q, p) &= \frac{1}{2\pi} \int d^4x e^{iqx} \langle p | [j_\mu(x), j_\nu(0)] | p \rangle \\ &= -\left(g_{\mu\nu} - \frac{1}{q^2} g_{\mu} g_{\nu}\right) W_1^{eN}(q^2, v) \\ &\quad + \frac{1}{M^2} \left(p_\mu - \frac{Mv}{q^2} g_\mu\right) \left(p_\nu - \frac{Mv}{q^2} g_\nu\right) W_2^{eN}(q^2, v) \end{aligned} \quad (2.1)$$

で構造関数 W_1^{eN} , W_2^{eN} を定義する。ここで

$Mv = p \cdot q$ であり $j_\mu(x)$ は電磁カーレントである。
また核子の行列要素に対してはいつももスベ
ン平均をとるものとしておく。(2.1) のよう

に構造関数を定義するとさ、実験室系での散
乱角を θ とすれば、 eN -散乱の微分断面積は

$$\begin{aligned} \frac{d^2\sigma}{d|q^2|dv} &= \frac{E-v}{E} \frac{4\pi\alpha^2}{q^4} \left\{ 2W_1^{eN}(q^2, v) \sin^2 \frac{\theta}{2} \right. \\ &\quad \left. + W_2^{eN}(q^2, v) \cos^2 \frac{\theta}{2} \right\} \end{aligned} \quad (2.2)$$

とかげ3。ここでレプトンの質量は無視し、
一光子近似を用いた。

Bjorken 極限 ($\equiv B_j$) に於ける scaling
rule とは次のことを意味す (Fig. 1 参照):²⁾

No. 10

$$M\bar{W}_1^{eN}(q^2, \nu) \xrightarrow{B_j} F_1^{eN}(\gamma), \quad (2.3a)$$

$$\gamma\bar{W}_2^{eN}(q^2, \nu) \xrightarrow{B_j} F_2^{eN}(\gamma), \quad (2.3b)$$

$$B_j = 1_{im}$$

$$\nu \rightarrow \infty, \gamma = -q^2/2M\nu : \text{fixed}.$$

次に仮想光子の吸収断面積を、実験室系に
於けるかたより K 分け、 longitudinal virtual
photo-absorption cross section を $\sigma_{(s)}^{eN}$ 、
transverse virtual photo-absorption cross
section を $\sigma_{(T)}^{eN}$ とかくこととする

$$\sigma_{(T)}^{eN} = \frac{4\pi^2\alpha}{K} \bar{W}_1^{eN}(q^2, \nu), \quad (2.4a)$$

$$\sigma_{(s)}^{eN} = \frac{4\pi^2\alpha}{K} \left\{ \bar{W}_2^{eN}(q^2, \nu) \left(1 - \frac{\nu^2}{q^2} \right) - \bar{W}_1^{eN}(q^2, \nu) \right\}, \quad (2.4b)$$

となる。ただし $K = \nu + q^2/2M$ とした。

$\sigma_{(T)}^{eN}$, $\sigma_{(s)}^{eN}$ が正値条件から, \bar{W}_1^{eN} , \bar{W}_2^{eN}
は

$$\left(1 - \frac{\nu^2}{q^2} \right) \bar{W}_2^{eN} \geq \bar{W}_1^{eN} \geq 0 \quad (2.5)$$

をみたさなければならぬ。

(b) $\nu(\bar{\nu}) - N$ 散乱

最初に

$$\begin{aligned}
 W_{\mu\nu}^{\nu(\bar{\nu})N}(q, p) &= \frac{1}{2\pi} \int d^4x e^{iqx} \langle p | [J_\mu^\pm(x), J_\nu^\pm(0)] | p \rangle \\
 &= -g_{\mu\nu} W_1^{\nu(\bar{\nu})N}(q^2, \nu) + \frac{1}{M^2} p_\mu p_\nu W_2^{\nu(\bar{\nu})N}(q^2, \nu) \\
 &\quad - \frac{i}{2M^2} \epsilon_{\mu\nu\rho\sigma} p_\rho q^\sigma W_3^{\nu(\bar{\nu})N}(q^2, \nu) \\
 &\quad + [\text{Terms including } g_\mu \text{ and/or } g_\nu]
 \end{aligned} \tag{2.6}$$

ここで構造関数を定義しよう。 $J_\mu^\pm(x)$ はハドロンの weak current である。たたしこれは簡単のため Cabibbo 角 θ_c は無視することにする。 (2.6) に於て g_μ または g_ν を含む項はレプトンの質量を無視する限り、観測量にはかかわって来ない。 $\nu(\bar{\nu}) - N$ 散乱の微分断面積は

$$\begin{aligned}
 \frac{d^2\sigma^{\nu(\bar{\nu})N}}{dq^2 d\nu} &= \frac{G^2}{2\pi} \frac{E-\nu}{E} \left\{ \frac{1}{2} W_1^{\nu(\bar{\nu})N}(q^2, \nu) \sin^2 \frac{\theta}{2} \right. \\
 &\quad \left. + W_2^{\nu(\bar{\nu})N}(q^2, \nu) \cos^2 \frac{\theta}{2} + \frac{2E-\nu}{M} W_3^{\nu(\bar{\nu})N}(q^2, \nu) \sin^2 \frac{\theta}{2} \right\} \tag{2.7}
 \end{aligned}$$

とかけろ。ここで θ は実験室系におけるレブ

トンの散乱角であり, $GM^2 = 1.026 \times 10^{-5}$ である

3. $\gamma(\bar{\nu})-N$ 散乱に対する構造関数の

Bjorken scaling ruleは次のようであらわされ
る: ²⁾

$$M W_1^{v(\bar{\nu})N}(q^2, \nu) \xrightarrow{B_j} F_1^{v(\bar{\nu})N}(\eta), \quad (2.8a)$$

$$\gamma W_2^{v(\bar{\nu})N}(q^2, \nu) \xrightarrow{B_j} F_2^{v(\bar{\nu})N}(\eta), \quad (2.8b)$$

$$\gamma W_3^{v(\bar{\nu})N}(q^2, \nu) \xrightarrow{B_j} F_3^{v(\bar{\nu})N}(\eta). \quad (2.8c)$$

次に weak current の吸収断面積を実験室
系におけるかたよりに応じてわけると

$$\sigma_{(L)}^{v(\bar{\nu})N} = \frac{\pi}{K} \left\{ W_1^{v(\bar{\nu})N} - \frac{1}{2M} \sqrt{\nu^2 - q^2} W_3^{v(\bar{\nu})N} \right\}, \quad (2.9a)$$

$$\sigma_{(R)}^{v(\bar{\nu})N} = \frac{\pi}{K} \left\{ W_1^{v(\bar{\nu})N} + \frac{1}{2M} \sqrt{\nu^2 - q^2} W_3^{v(\bar{\nu})N} \right\}, \quad (2.9b)$$

$$\sigma_{(S)}^{v(\bar{\nu})N} = \frac{\pi}{K} \left\{ \left(1 - \frac{\nu^2}{q^2}\right) W_2^{v(\bar{\nu})N} - W_1^{v(\bar{\nu})N} \right\}, \quad (2.9c)$$

となる。ただし L, R, S はそれぞれ左まわり,
右まわり, 縦向きのかたよりを示す文字である。
 $\sigma_L^{v(\bar{\nu})N}, \sigma_R^{v(\bar{\nu})N}, \sigma_S^{v(\bar{\nu})N}$ に対する

正値条件から

$$\left(1 - \frac{v^2}{g^2}\right) W_2^{v(\bar{v})N} \geq W_1^{v(\bar{v})N} \geq \frac{\sqrt{v^2 - g^2}}{2M} |W_3^{v(\bar{v})N}| \quad (2.10)$$

がみたされなければならぬ。

次の二つの節で我々は以上に於て定義された種々の構造関数のふるまいを記述することを契機として生じてきた代表的な模型、つまりクークパートン模型とFGMの光円錐代表の方法について調べてみよう。

§3. Quark parton model

弹性 $e\text{-}N$ 散乱の断面積が核子の形状因子のために $|g^2|$ を大きくしてゆくほどどんどん小さくなるといふ事実があるが、重非弹性 eN 散乱に於ては断面積が Mott 断面積と同じオーダーであり、 $|g^2|$ をあげてしてもほとんど核子がかからぬことか明らかとなる。¹⁾ このことから類推すると核子の内部に構造をも

たない構成粒子が存在し、全体の断面積はこれら構成粒子と仮想光子との相互作用の急和として与えられるのではないかと考えられ
3. パートン模型の基本的考え方ほほこの
ように述べることができます。³⁾ パートン模型では Bjorken の scaling rule は、構成粒子を自由な状態にあるとして扱うとの結果として
あらわれます。

今始状態のレptonと核子の運動量をそれ
ぞれ $R_p = (E, 0, 0, -E)$, $p_p = (\sqrt{p^2 + E^2}, 0, 0, E)$
ときめよう。そうすると

$$\frac{1}{q_0} = \frac{2[\sqrt{M^2+E^2}+E]}{2Mv+q^2} \quad E \rightarrow \infty \quad \frac{4E}{2Mv+q^2} \quad (3.1)$$

となります。これは重心系で定義された相互作用
時間としての意味をもつていい。次に核子が
運動量 $\xi_i E$, ($\sum \xi_i = 1$) 質量 m_i の構成粒
子にかけられていうといふ仮想状態の life time
は

$$\frac{1}{\sum_i (\xi_i^2 E^2 + m_i^2)^{1/2} - \sqrt{M^2+E^2}} \quad E \rightarrow \infty \quad \frac{2E}{M^*} \quad (3.2)$$

となります。ここで $M^* = m_i / \xi_i$ といた。

相互作用の行われる構成粒子が "quasi-free" 状態にあるという条件は $T \gg 1/q_0$ といつてよいであろう。³⁾ これは

$$2Mv + q^2 \gg 2M^2$$

とかけろ。この式は impulse 近似を使之子かどうかという一つの目安を与えるものである。

更に仮想光子と構成粒子との結合が充分 point-like であるためには

$$q^2 \gg k_\perp^2$$

でなければならぬ。 k_\perp はある横方向の運動量の最大値といふほどの意味をもつ量である。

(3.3b) は子午インコヒーレント和が正負化され子ための一つの条件ともなつてゐる。^{3) 13)}

Bjorken limit に於ては (3.3) の左辺はいずれも無限大であるから問題はないと思えるが、実験的には Mv 及び $-q^2$ があまり大きくないところでも構造関数が scaling rule をみたしていふようにみえ¹⁾、このことは単純には理解できなうことである。scaling rule の更に深い理論的解明は将来の問題として残されて

(3.3a)

(3.3b)

いえといつてよい。我々は以下ではこのよう
な問題点は保留し、パートン模型を実際に重
非弾性レプトン-ハドロン散乱に応用したらど
のような結果が得られるかを調べることにする

3. 構成粒子に対する3模型としてはクオーツを
考えよ(クオーツパートン模型)。

今陽子を構成するクオーツを考え、infinite
momentum frame に於て ξ と $\xi + d\xi$ との間
の momentum fraction をもつて $u(\xi)$ クオーツ
の数を $u(\xi)$ とする。以下同様に $\bar{u}(\xi)$,
 $d(\xi)$, $\bar{d}(\xi)$, $s(\xi)$, $\bar{s}(\xi)$ 存する関数を定義す

3. ¹⁴⁾ 陽子の量子数条件は

$$\int_0^1 d\xi \{ u(\xi) - \bar{u}(\xi) \} = 2, \quad (3.4a)$$

$$\int_0^1 d\xi \{ d(\xi) - \bar{d}(\xi) \} = 1, \quad (3.4b)$$

$$\int_0^1 d\xi \{ s(\xi) - \bar{s}(\xi) \} = 0, \quad (3.4c)$$

とかけよ。

§2で定義された種々の構造関数はこれら
の関数を用いて次のようにならわす二つがで

きよ:

$$F_2^{ep}(\eta) = \eta \left\{ \frac{4}{9} [u(\eta) + \bar{u}(\eta)] + \frac{1}{9} [d(\eta) + \bar{d}(\eta)] + \frac{1}{9} [s(\eta) + \bar{s}(\eta)] \right\}, \quad (3.5)$$

$$F_2^{en}(\eta) = \eta \left\{ \frac{4}{9} [d(\eta) + \bar{d}(\eta)] + \frac{1}{9} [u(\eta) + \bar{u}(\eta)] + \frac{1}{9} [s(\eta) + \bar{s}(\eta)] \right\}, \quad (3.6)$$

$$F_2^{vp}(\eta) = 2\eta \{ \bar{u}(\eta) + d(\eta) \}, \quad (3.7a)$$

$$F_2^{vn}(\eta) = 2\eta \{ \bar{d}(\eta) + u(\eta) \}, \quad (3.7b)$$

$$F_2^{\bar{v}p}(\eta) = 2\eta \{ u(\eta) + \bar{d}(\eta) \}, \quad (3.8a)$$

$$F_2^{\bar{v}n}(\eta) = 2\eta \{ d(\eta) + \bar{u}(\eta) \}, \quad (3.8b)$$

$$F_3^{vp}(\eta) = 2 \{ \bar{u}(\eta) - d(\eta) \}, \quad (3.9a)$$

$$F_3^{vn}(\eta) = 2 \{ \bar{d}(\eta) - u(\eta) \}, \quad (3.9b)$$

$$F_3^{\bar{v}p}(\eta) = 2 \{ \bar{d}(\eta) - u(\eta) \}, \quad (3.10a)$$

$$F_3^{\bar{v}n}(\eta) = 2 \{ \bar{u}(\eta) - d(\eta) \}, \quad (3.10b)$$

ただし $\eta = -q^2 / 2M\nu$ ($0 \leq \eta \leq 1$) である。

なお eN 散乱の場合も $v(\bar{v})N$ 散乱の場合も

$$F_1(\eta) = \frac{1}{2\eta} F_2(\eta) \quad (3.11)$$

が成立する。¹⁵⁾ この式は 1 次 - 1 次 ピンが

$1/2$ であるといふことからでてくるものであ
る。eN 散乱に於て (2.4) で定義したとこ
の $\sigma_{(s)}^{eN} / \sigma_{(T)}^{eN}$ の値がはかられていいるか、こ
の値は 0.18 ± 0.05 であつて非常に小さく、
0 とみなしてもよいことかわかつていい。¹⁾ 高
エネルギーに於ては

$$\sigma_{(s)}^{eN} \sim \frac{4\pi^2 \lambda}{MK} \left[\frac{1}{2\eta} F_2^{eN}(\eta) - F_1^{eN}(\eta) \right]$$

とかげることを考えると上の実験データは
(3.11) が実際に成立していいことを支持する
ものである。

次に (3.5) と (3.6) の比をとると

$$R = \frac{F_2^{ep}(\eta)}{F_2^{ep}(\eta)} = \frac{u(\eta) + \bar{u}(\eta) + 4[d(\eta) + \bar{d}(\eta)] + s(\eta) + \bar{s}(\eta)}{4[u(\eta) + \bar{u}(\eta)] + d(\eta) + \bar{d}(\eta) + s(\eta) + \bar{s}(\eta)} \quad (3.12)$$

この式より R たてちん

$$\frac{1}{4} \leq R \leq 4 \quad (3.13)$$

が得られる。R の値は実験的には threshold
($\eta = 1$) の近くはよくわかつてないが、 η が
1 に近づくにつれてだんだん小さな値となつ

No. 19

2. 1) このことから Feynman は $\eta \approx 1/2$ は何かの理由で

$$u(\eta) + \bar{u}(\eta) \gg d(\eta) + \bar{d}(\eta), s(\eta) + \bar{s}(\eta) \quad (3.14)$$

と見ていいと仮定した。この仮定では
 $R \xrightarrow{\eta \rightarrow 1} 1/4$ となる。一方 Bloom & Gilman の Resonance model では $R \xrightarrow{\eta \rightarrow 1} \mu_m^2 / \mu_p^2 \approx 0.45$ であることが予言されている¹⁶⁾。現在のデータだけでは $\eta = 1$ での R の値がどうかはまだ何ともいえないが、我々には $\eta \rightarrow 1$ の領域をパートン模型で扱うことには無理があるように思える。^{10) 13)}

次に F_2^{ep} と F_2^{en} との差について考えよう。
3. (3.5) と (3.6) より

$$\int_0^1 \frac{d\eta}{\eta} \{ F_2^{ep}(\eta) - F_2^{en}(\eta) \} = \frac{2}{3} \int_0^1 \{ u(\eta) - d(\eta) \} d\eta - \frac{1}{3} \quad (3.15)$$

が得られる。ここで我々は (3.4) を用いた。
陽子を構成していい ウォーカーは uud の他は
 $SU(3)$ -singlet であるとすれば

$$\int_0^1 [u(\eta) - d(\eta)]^2 d\eta = 1 \quad (3.16)$$

でなければならない。したがって (3.15) より

$$\text{和則} \int_0^1 \frac{d\eta}{\eta} [F_2^{ep}(\eta) - F_2^{en}(\eta)]^2 = \frac{1}{3} \quad (3.17)$$

が得られる。 (3.17) の左辺は $0.1 \leq \eta \leq 1$ に対して

してはデータを使い、 $\eta \leq 0.1$ に対しては

Regge behavior $F_2^{ep}(\eta) - F_2^{en}(\eta) \propto \sqrt{\eta}$ を用いて計算されている。それによると 0.16 で

あり $1/3$ の半分にすぎない。¹⁷⁾ このことは

スカラーパートン模型が遭遇した最も大きな困難の一つであるといえよう。

次に $V(\bar{V})$ -N 散乱について調べてみる。

まず (3.4) と (3.7) より

$$\int_0^1 [F_2^{vn}(\eta) - F_2^{vp}(\eta)]^2 \frac{d\eta}{\eta} = 2 \left[\int_0^1 [u(\eta) - \bar{u}(\eta)] d\eta - \int_0^1 [d(\eta) - \bar{d}(\eta)] d\eta \right] = 2 \quad (3.18)$$

がみちびかれだが、これは有名な Adler 和則に

他ならぬ。¹⁸⁾ これは陽子の量子数条件だけか

No. 21

ら得られることに注意すべきである。

さて $y = \gamma/E$ ($0 \leq y \leq 1$) を用いて (2.7) を書きなおすと, E が充分大きいときには

$$\frac{d^2\sigma^{vN}}{dy dy} = \frac{G^2 ME}{\pi} \left\{ \gamma y^2 F_1^{v(\bar{\nu})N}(\eta) + (1-y) F_2^{v(\bar{\nu})N}(\eta) + \frac{1}{2} \gamma y(2-y) F_3^{v(\bar{\nu})N}(\eta) \right\} \quad (3.19)$$

となる。この式及び (3.7) ~ (3.11) より次の式が得られる:

$$\frac{d^2\sigma^{vp}}{dy dy} = \frac{2G^2 ME}{\pi} \eta \left\{ d(\eta) + (1-y)^2 \bar{u}(\eta) \right\}, \quad (3.20a)$$

$$\frac{d^2\sigma^{\bar{v}p}}{dy dy} = \frac{2G^2 ME}{\pi} \eta \left\{ \bar{d}(\eta) + (1-y)^2 u(\eta) \right\}, \quad (3.20b)$$

$$\frac{d^2\sigma^{vn}}{dy dy} = \frac{2G^2 ME}{\pi} \eta \left\{ u(\eta) + (1-y)^2 \bar{d}(\eta) \right\}, \quad (3.20c)$$

$$\frac{d^2\sigma^{\bar{v}n}}{dy dy} = \frac{2G^2 ME}{\pi} \eta \left\{ \bar{u}(\eta) + (1-y)^2 d(\eta) \right\}. \quad (3.20d)$$

No. 22

$$R_1 = (\sigma^{\bar{v}p} + \sigma^{\bar{v}m}) / (\sigma^{vp} + \sigma^{vm}) \quad \text{反3量}$$

を定義すると (3.20) よりただちに

$$R_1 = \frac{\int_0^1 \left\{ \frac{1}{3} [u(\eta) + d(\eta)] + \bar{u}(\eta) + \bar{d}(\eta) \right\} \eta d\eta}{\int_0^1 \left\{ u(\eta) + d(\eta) + \frac{1}{3} [\bar{u}(\eta) + \bar{d}(\eta)] \right\} \eta d\eta} \quad (3.21)$$

となる。 (3.21) より $1/3 \leq R_1 \leq 3$ である
ければならぬことが結論できる。 R_1 の実験
値は CERN 及び NAL ではかられていた : ¹⁹⁾

$$R_1 = 0.38 \pm 0.02 \quad (E > 2 \text{GeV}, \text{CERN}),$$

$$R_1 = 0.30 \pm 0.04 \quad (<E> \approx 40 \text{GeV}, \text{NAL}).$$

これらの実験値で注目すべきことは R_1 が $1/3$
にきわめて近いといふことである。この事
実は (3.21) から明らかにならうに反粒子はほと
んど運動量をになつてないことを示してお
 η , きわめて興味深い。

次に (3.20) より

$$\sigma^{vp} + \sigma^{vm} + \sigma^{\bar{v}p} + \sigma^{\bar{v}m}$$

$$= \frac{8}{3} \frac{G^2 M E}{\pi c} \int_0^1 \{u(\eta) + \bar{u}(\eta) + d(\eta) + \bar{d}(\eta)\} \eta d\eta \quad (3.22)$$

No. 23

が得られるが、この式は実験的にはほんたしかめられた $R_1 \approx 1/3$ といふことを用ひると

$$\frac{\sigma^{vp} + \sigma^{vm}}{2} = \frac{G^2 ME}{\pi} \int_0^1 \{ u(\eta) + \bar{u}(\eta) + d(\eta) + \bar{d}(\eta) \} \eta d\eta \quad (3.23)$$

となる。⁽¹⁹⁾ ところが CERN の実験によると

$$\frac{\sigma^{vp} + \sigma^{vm}}{2} = \frac{G^2 ME}{\pi} (0.46 \pm 0.02) \quad (E > 2 \text{GeV})$$

であるから

$$\int_0^1 \{ u(\eta) + \bar{u}(\eta) + d(\eta) + \bar{d}(\eta) \} \eta d\eta \simeq 0.46 \quad (3.24)$$

となる。また (3.5) ~ (3.7) より

$$\begin{aligned} \frac{3}{4} \int_0^1 \{ 6 [F_2^{ep}(\eta) + F_2^{en}(\eta)] - [F_2^{vp}(\eta) + F_2^{vm}(\eta)] \} d\eta \\ = \int_0^1 \{ u(\eta) + \bar{u}(\eta) + d(\eta) + \bar{d}(\eta) + s(\eta) + \bar{s}(\eta) \} \eta d\eta \end{aligned} \quad (3.25)$$

が得られる。さらには (3.7), (3.24) より

$$\int_0^1 [F_2^{vp}(\eta) + F_2^{vm}(\eta)] d\eta = 2 \int_0^1 \{ u(\eta) + \bar{u}(\eta) + d(\eta) + \bar{d}(\eta) \} \eta d\eta$$

$$\simeq 0.92 \quad (3.26)$$

No. 24

このこと SLAC における $F_2 - \eta^1$

$$\int_0^1 [F_2^{ep}(\eta) + F_2^{en}(\eta)] d\eta \approx 0.3$$

を用いると (3.25) より 結局

$$\int_0^1 \{u(\eta) + \bar{u}(\eta) + d(\eta) + \bar{d}(\eta) + s(\eta) + \bar{s}(\eta)\} \eta d\eta \approx 0.66, \quad (3.27)$$

たる結果が得られる。 (3.27) は陽子を構成して 13 もののうち、すべての夸克の運んでいる momentum fraction の和であるからこれが 1 にならないといふことは、夸ク模型の立場に立つと非常に困難なことである。

残りの 34% の運動量は 3 つ gluon とはいえ荷電でもないものが運んでいたと解釈される (Gluon model). ²⁰⁾

ところで (3.24) と (3.27) によると

$$\int_0^1 \{s(\eta) + \bar{s}(\eta)\} \eta d\eta \approx 0.2 \quad (3.28)$$

となる。陽子が "uud + SU(3) + singlet cloud" の形で作られているとする

$s(\eta) = \bar{s}(\eta) = \bar{u}(\eta) = \bar{d}(\eta)$ であるから (3.21) と (3.28) カ

$$\text{ら } R_1 \simeq 0.88 \quad (3.29)$$

となる。これは出発点とした $R_1 = 1/3$ から大幅

にずれておりクォークパートン模型に於ける矛盾

である。ただし上の議論は極端な場合であ

る。現在の実験誤差の範囲内で矛盾がない

ようにすることは可能である。その場合には

gluon が核子の運動量のはば 50% を運んでい

るところである。¹⁹⁾

以上のべてきたようにクォークパートン模型

は重非弾性レpton-ハドロン散乱の現象を非

常に単純に記述したといふ点で評価でさうか。

何もかもうまくいってゐるわけではない。特

に (3.17) と (3.28), (3.29) の困難は現在のデータ

をクォークパートン模型で説明することは非常

に困難であることを示してゐるといえよう¹⁰⁾。

クォークパートン模型でうまくゆかない点の分

析にあたっては、パートン模型の考え方その

ものの妥当性と、核子を構成するものに対する

モデルとしてのクォーク模型の妥当性の両面

から検討してゆかなければならぬのである。

§ 4. Fritsch-Gell-Mann light-cone

algebras and lepton-hadron collisions

この節では重非弾性レプトン-ハドロン散乱過程に対する approach の一つとして FGM の光円錐代数の方法をしらべてみることにする。⁵⁾

まず最初に eN 散乱の構造関数の定義式(2.1)

に於ける e^{ix} の部分に注目してみよう。

フレームを $p_\mu = (M, 0, 0, 0)$, $q_\mu = (\nu, 0, 0, \sqrt{\nu^2 - q^2})$

とすると

$$q \cdot x = \nu x_0 - \sqrt{\nu^2 - q^2} x_3$$

$$\approx \nu (x_0 - x_3) + \frac{q^2}{2\nu} x_3$$

であるから、 $\langle p | [j_\mu(x), j_\nu(0)] | p \rangle$ が光円錐以外でなめらかな関数であるならば ν が大きくなるとき支配的な領域は

$$|x_0 - x_3| \lesssim \frac{1}{\nu}$$

(4.1 a)

かつ

$$|\alpha_3| \lesssim \frac{z^2}{|g^2|} \quad (4.1b)$$

であるといえ。したがって

$$|\alpha_0| \lesssim \frac{z^2}{|g^2|} + \frac{1}{\nu} \quad (4.1c)$$

causalityを用いると (4.1b), (4.1c) より, 支配的な領域は

$$0 \leq x^2 \lesssim \frac{4}{|g^2|} \quad (4.2)$$

であるといふ結果を得る。したがって Bjorken

極限 ($\nu \rightarrow \infty$, $\eta = -g^2/2M\nu$: fixed) に於ては $[j_\mu(x), j_\nu(0)]$ が光円錐上にどのよう非物质異性をもつかが重要であることがわからず。さて

Jackiew との他いろいろな人の分析により、

(2.3) のよろと Bjorken の scaling rule は
座標空間では次のようであらわされることか明らかとなる。た。⁴⁾ すなはち

$$\begin{aligned}
 & i \langle p | [j_\mu(x), j_\nu(0)] | p \rangle \\
 & = (g_{\mu\nu} \square - \partial_\mu \partial_\nu) \tilde{V}_1^{eN}(x^2, x \cdot p) \\
 & + [p_\mu p_\nu \square - p \cdot \partial (\partial_\mu p_\nu + \partial_\nu p_\mu) + g_{\mu\nu} (p \cdot \partial)^2] \tilde{V}_2^{eN}(x^2, x \cdot p) \quad (4.3)
 \end{aligned}$$

とすととき

$$\tilde{V}_1^{eN}(x^2, x \cdot p) \simeq \frac{1}{4\pi^2} \epsilon(x \cdot p) S(x^2) \int_0^1 d\eta \frac{\cos(\eta x \cdot p)}{\eta^2} [F_2^{eN}(\eta) - 2\eta F_1^{eN}(\eta)], \quad (4.4a)$$

$$\tilde{V}_2^{eN}(x^2, x \cdot p) \simeq \frac{1}{4\pi^2} \epsilon(x \cdot p) \theta(x^2) \int_0^1 d\eta \frac{\sin(\eta x \cdot p)}{\eta x \cdot p} F_2^{eN}(\eta). \quad (4.4b)$$

(4.4a), (4.4b) の二式を見れば明らかのように

Bjorken の scaling rule をみたすためには

$[j_\mu(x), j_\nu(0)]$ が光円錐上に自由場の特異性をもつていいなければならぬことかわかる。⁴⁾

このような要請をみたし、しかもいふんを予

言能力をもつて、有力な模型は、自由クーロン模型から導出された、FGM の光円錐代数で

ある。⁵⁾

(a) Fritzsch と Gell-Mann の光円錐代数

Kについて

今、自由クーパー模型で

$$A^a(\Gamma, x, y) = : \bar{q}(x) \Gamma \frac{\lambda^a}{2} q(y) : \quad (4.5)$$

とかける双局所演算子を考える。ここで $q(x)$ はクーパー場, Γ は Dirac の γ -行列である。

このような演算子の交換子の connected part で、光円錐上で一はん強い特異性をもつ項だけをひき、でくまと次のようになると

$$[A^a(\Gamma_1, x, y), A^b(\Gamma_2, z, w)]$$

$$\hat{=} -\frac{1}{2} \left\{ \partial_x^\mu D(x-w) \right\} (-if_{abc} + d_{abc}) A^c(\Gamma_2 \gamma_\mu \Gamma_1, z, y)$$

$$+ \frac{1}{2} \left\{ \partial_y^\mu D(y-z) \right\} (if_{abc} + d_{abc}) A^c(\Gamma_1 \gamma_\mu \Gamma_2, x, w), \quad (4.6)$$

ただし $iD(x) = \epsilon(x_0) \delta(x^2) / 2\pi$ である。

記号 $\hat{=}$ は LLLCS に対して両辺が等しいことを示す。局所演算子について調べたいときには (4.6) に於て $y \rightarrow x$, $w \rightarrow z$ とすればよ

い。 我々は今後この節で、ベクトルカーレント

$$j_{\mu}^a(x) = A^a(\gamma_{\mu}, x, x), \quad (4.7a)$$

$$j_{\mu}^a(x, y) = A^a(\gamma_{\mu}, x, y), \quad (4.7b)$$

及び軸性ベクトルカーレント

$$j_{5\mu}^a(x) = A^a(\gamma_{\mu}\gamma_5, x, x), \quad (4.8a)$$

$$j_{5\mu}^a(x, y) = A^a(\gamma_{\mu}\gamma_5, x, y), \quad (4.8b)$$

について議論す。これらのカーレントの間に成立する3代表が所謂 FGM 代表である。⁵⁾

(4.6) を用いて次の諸式が得られる。

$$\begin{aligned} & [j_{\mu}^a(x), j_{\nu}^b(y)] \\ & \stackrel{\Delta}{=} \frac{1}{2} [\partial_x^{\rho} D(x-y)] S_{\mu\nu\rho\sigma} \{ i f_{abc} [j_c^{\sigma}(x, y) + j_c^{\sigma}(y, x)] \\ & \quad + d_{abc} [j_c^{\sigma}(x, y) - j_c^{\sigma}(y, x)] \} \\ & \quad + \frac{1}{2} [\partial_x^{\rho} D(x-y)] i \epsilon_{\mu\nu\rho\sigma} \{ i f_{abc} [j_{5c}^{\sigma}(x, y) - j_{5c}^{\sigma}(y, x)] \\ & \quad + d_{abc} [j_{5c}^{\sigma}(x, y) + j_{5c}^{\sigma}(y, x)] \} \} \quad (4.9) \end{aligned}$$

No. 3/

$$\begin{aligned}
 & [j_{5\mu}^a(x), j_{5\nu}^b(y)] \\
 & \stackrel{\wedge}{=} \frac{1}{2} [\partial_x^\rho D(x-y)] s_{\mu\nu\rho\sigma} \{ i f_{abc} [j_{5c}^\sigma(x,y) + j_{5c}^\sigma(y,x)] \\
 & \quad + d_{abc} [j_{5c}^\sigma(x,y) - j_{5c}^\sigma(y,x)] \} \\
 & \quad + \frac{1}{2} [\partial_x^\rho D(x-y)] i e_{\mu\nu\rho\sigma} \{ i f_{abc} [j_c^\sigma(x,y) - j_c^\sigma(y,x)] \\
 & \quad + d_{abc} [j_c^\sigma(x,y) + j_c^\sigma(y,x)] \}, \tag{4.10}
 \end{aligned}$$

$$[j_{5\mu}^a(x), j_{5\nu}^b(y)] \stackrel{\wedge}{=} [j_\mu^a(x), j_\nu^b(y)], \tag{4.11}$$

$$\text{ただし } s_{\mu\nu\rho\sigma} = g_{\mu\rho}g_{\nu\sigma} + g_{\mu\sigma}g_{\nu\rho} - g_{\mu\nu}g_{\rho\sigma}.$$

次に双局所カルント同志の光円錐交換子

つづけは次のようになります：

$$\begin{aligned}
 & [j_\mu^a(x,u), j_\nu^b(y,v)] \\
 & \stackrel{\wedge}{=} \frac{1}{2} [\partial_v^\rho D(v-x)] (i f_{abc} - d_{abc}) [s_{\mu\nu\rho\sigma} j_c^\sigma(y,u) - i e_{\mu\nu\rho\sigma} j_{5c}^\sigma(y,u)] \\
 & \quad + \frac{1}{2} [\partial_u^\rho D(u-y)] (i f_{abc} + d_{abc}) [s_{\mu\nu\rho\sigma} j_c^\sigma(x,v) + i e_{\mu\nu\rho\sigma} j_{5c}^\sigma(x,v)], \tag{4.12}
 \end{aligned}$$

$$\begin{aligned}
 & [j_{5\mu}^a(x,u), j_\nu^b(y,v)] \\
 & \stackrel{\wedge}{=} \frac{1}{2} [\partial_v^\rho D(v-x)] (i f_{abc} - d_{abc}) [s_{\mu\nu\rho\sigma} j_{5c}^\sigma(y,u) - i e_{\mu\nu\rho\sigma} j_c^\sigma(y,u)] \\
 & \quad + \frac{1}{2} [\partial_u^\rho D(u-y)] (i f_{abc} + d_{abc}) [s_{\mu\nu\rho\sigma} j_{5c}^\sigma(x,v) + i e_{\mu\nu\rho\sigma} j_{5c}^\sigma(x,v)], \tag{4.13}
 \end{aligned}$$

$$\left[j_{5\mu}^a(x, u), j_{5\nu}^b(y, v) \right] \triangleq \left[j_{\mu}^a(x, u), j_{\nu}^b(y, v) \right]. \quad (4.14)$$

(4.9)~(4.11) は $(x-y)^2 \approx 0$ のとき成立する
と仮定される。 (4.12)~(4.14) は (4.9) の座標
に關係していさか, FGM は少くとも $(x-y)^2$
 $\approx (x-u)^2 \approx (x-v)^2 \approx (y-u)^2 \approx (y-v)^2 \approx (u-v)^2 \approx 0$
のときにはこれらの式が正しいものと仮定し
た。注目すべきことは (4.12)~(4.14) は双局所
カーレントで完全に内じていふことである。
(4.12)~(4.14) が所謂 FGM の光円錐双局所カ
ーレント代数とよばれるものである。

(4.9)~(4.11) 及び (4.12)~(4.14) について特徴的
なことは Vector current に対する gauge invariance
がみたされていなないことである。このことが
障害となり、これらの關係式を自由自在に応
用することはできない。 Bjorken極限に於
けるレpton-トン-ハドロン散乱はゲージ不変性が
問題にならないような一つの例であるが、我
々は次に (4.9)~(4.11) をこの過程に適用して
みることしよう。

(b) FGM代数のレプトン-ハドロン散乱への
応用について

最初に構造関数を

$$W_{\mu\nu}^{ab}(q, p) = \frac{1}{2\pi} \int d^4x e^{iqx} \langle p | [j_\mu^a(x), j_\nu^b(0)] | p \rangle$$

$$= -\left(\frac{g}{g_{\mu\nu}} - \frac{g_\mu g_\nu}{g^2}\right) \left\{ W_1^{ab}(q^2, \nu) + \frac{\nu^2}{g^2} W_2^{ab}(q^2, \nu) \right\}$$

$$+ \frac{1}{M^2 g^2} \left[M^2 \nu^2 g_{\mu\nu} + q^2 p_\mu p_\nu - M\nu (p_\mu g_\nu + p_\nu g_\mu) \right] W_2^{ab}(q^2, \nu), \quad (4.15)$$

$$W_{5\mu\nu}^{ab} = \frac{1}{2\pi} \int d^4x e^{iqx} \langle p | [j_{5\mu}^a(x), j_\nu^b(0)] | p \rangle$$

$$= -\frac{i}{2M^2} \epsilon_{\mu\nu\rho\sigma} p^\rho g^\sigma W_3^{ab}(q^2, \nu) + \dots \quad (4.16)$$

κ_f, κ_i 定義することに κ_f と κ_i とする。 $= c \bar{c} \bar{e}^+$

$$\langle p | \{ j_c^\sigma(x, 0) + j_c^\sigma(0, x) \} | p \rangle$$

$$= 2 \tilde{S}_c(p \cdot x) p^\sigma + \text{non-leading terms}, \quad (4.17)$$

$$\langle p | \{ j_c^\sigma(x, 0) - j_c^\sigma(0, x) \} | p \rangle$$

$$= 2 \tilde{A}_c(p \cdot x) p^\sigma + \text{non-leading terms}, \quad (4.18)$$

No. 34

$$\tilde{S}_c(p \cdot x) = \int \exp(i\xi p \cdot x) S_c(\xi) d\xi, \quad (4.19)$$

$$\tilde{A}_c(p \cdot x) = \int \exp(i\xi p \cdot x) A_c(\xi) d\xi, \quad (4.20)$$

存する定義を行ひ、

$$D(z) = \frac{i}{(2\pi)^3} \int d^4 k \delta(k^2) \epsilon(k_0) e^{-ikz} \quad (4.21)$$

であることを考慮に入れ、積分表示における

support property $|\xi| \leq 1$ を用ひると結局

(4.9) と (4.15) より

$$\overline{W}_{\mu\nu}^{ab} = \frac{1}{2M\nu} \sum_{\mu\nu\rho\sigma} \epsilon_{\mu\nu\rho\sigma}^{ab} p^\rho (g^\rho + \eta p^\rho) \left\{ \begin{array}{l} \text{if } abc S_c(\eta) \\ + d_{abc} A_c(\eta) \end{array} \right\}, \quad (4.22)$$

(4.10) と (4.16) より

$$\overline{W}_{5\mu\nu}^{ab} = -\frac{1}{2M\nu} i \epsilon_{\mu\nu\rho\sigma}^{ab} p^\rho g^\sigma \left\{ \begin{array}{l} \text{if } abc S_c(\eta) \\ + d_{abc} A_c(\eta) \end{array} \right\}, \quad (4.23)$$

が得られる。ただし

$$\gamma = \left[-v + \sqrt{v^2 - g^2} \right] / M \xrightarrow[v \rightarrow \infty]{} \frac{g^2}{2Mv} \quad (4.24)$$

No. 35

である。さて Bjorken極限 ($v \rightarrow \infty$, η : fixed)

K に対しては

$$\frac{S_{MvP_0} p^c (g^{\mu\nu} + \eta p^\mu p^\nu)}{B_j} \rightarrow -\frac{1}{Mv} \left\{ \eta^2 v^2 g_{\mu\nu} + g^2 p_\mu p_\nu - Mv \left(p_\mu^0 g_{\nu\rho} + p_\nu^0 g_{\mu\rho} \right) \right\} \quad (4.25)$$

であるから (4.15), (4.22), (4.25) も

$$v W_2^{ab} = F_2^{ab}(\eta) = M \eta \left\{ i f_{abc} S_c(\eta) + d_{abc} A_c(\eta) \right\}, \quad (4.26)$$

$$W_1^{ab} + \frac{v^2}{q^2} W_2^{ab} = 0, \quad (4.27)$$

が得られ3. また (4.16), (4.23) も

$$v W_3^{ab} = F_3^{ab}(\eta) = M \left\{ i f_{abc} A_c(\eta) + d_{abc} S_c(\eta) \right\} \quad (4.28)$$

となる。

このようにして、実験的に明らかになつて
い3 Bjorken's scaling rule は、当然のことな
がら FG M 代数から出すことかでできたわけ
ある。さら K (4.27) は (3.11) と同じ度律式
である、3 2 のべき乗のように eN 散乱で成
立することかよくたしかめられてい3. この

式はハーテン模型の場合と全く同じようだに、
 FG M 代数を導く基礎となるて (3.7) の
 スピントが $1/2$ であるといふことの結果として
 出てきたものである。⁽¹⁵⁾

さて電磁カーレントは $j_\mu(x) = j_\mu^3(x) + \frac{1}{\sqrt{3}} j_\mu^8(x)$
 と書け、弱いカーレントはカビボ角を無視す
 るとき $J_\mu^\pm(x) = (j_\mu^1(x) \pm i j_\mu^2(x)) - (j_{5\mu}^1(x) \pm i j_{5\mu}^2(x))$
 と書けるから、(4.26), (4.28) は具体的な過
 程に対するのは次のようになる。⁵⁾

$$F_2^{eN}(\eta) = M\eta \left\{ \frac{4}{3}\sqrt{\frac{2}{3}} A_0(\eta) + \frac{2}{3} A_3(\eta) + \frac{2}{3\sqrt{3}} A_8(\eta) \right\}, \quad (4.29)$$

$$F_2^{vN}(\eta) = M\eta \left\{ 4\sqrt{\frac{2}{3}} A_0(\eta) - 4 S_3(\eta) + \frac{4}{\sqrt{3}} A_8(\eta) \right\}, \quad (4.30)$$

$$F_3^{vN}(\eta) = M \left\{ -4\sqrt{\frac{2}{3}} S_0(\eta) + 4 A_3(\eta) - \frac{4}{\sqrt{3}} S_8(\eta) \right\}. \quad (4.31)$$

(4.29) と (4.31) とにたどりちく

$$M \left\{ F_3^{vN} - F_3^{vp} \right\} = 6 \left\{ F_2^{em} - F_2^{ep} \right\} \quad (4.32)$$

する関係式が得られる。このほかに 13 人ない
アイソスピント多重項の間の関係式を得ること
は容易である。

次に双局所カーレントをテーラー展開して

$$\langle p | \bar{g} \gamma_p \frac{\lambda^a}{2} g | p \rangle = S_{(1)}^a p_g$$

$$\begin{aligned} & \langle p | \bar{g} \gamma_p \frac{\lambda^a}{2} \partial_\alpha \partial_\beta g + [\partial_\alpha \partial_\beta \bar{g}] \gamma_p \frac{\lambda^a}{2} g | p \rangle \\ & \quad = 2 S_{(3)}^a p_g p_\alpha p_\beta \end{aligned}$$

(4.33)

で $S_{(1)}^a$, $S_{(3)}^a$, $S_{(5)}^a$, $S_{(7)}^a$, ... を定義し,

$$\begin{aligned} & \langle p | \bar{g} \gamma_p \frac{\lambda^a}{2} \partial_\alpha g - [\partial_\alpha \bar{g}] \gamma_p \frac{\lambda^a}{2} g | p \rangle \\ & \quad = 2 a_{(2)}^a p_g p_\alpha . \end{aligned}$$

$$\begin{aligned} & \langle p | \bar{g} \gamma_p \frac{\lambda^a}{2} \partial_\alpha \partial_\beta \partial_\gamma g - [\partial_\alpha \partial_\beta \partial_\gamma \bar{g}] \gamma_p \frac{\lambda^a}{2} g | p \rangle \\ & \quad = 2 a_{(4)}^a p_g p_\alpha p_\beta p_\gamma \end{aligned}$$

(4.34)

で $a_{(2)}^a$, $a_{(4)}^a$, $a_{(6)}^a$, $a_{(8)}^a$, ... を定義しよう。

えうすと

$$\begin{aligned} \tilde{S}^a(p \cdot x) &= S_{(1)}^a + \frac{1}{2!} S_{(3)}^a (p \cdot x)^2 + \frac{1}{4!} S_{(5)}^a (p \cdot x)^4 + \dots \\ &= \sum_{i=1}^{\infty} \frac{1}{(2i-2)!} S_{(2i-1)}^a (p \cdot x)^{2i-2}, \end{aligned} \quad (4.35)$$

$$\begin{aligned} \tilde{A}^a(p \cdot x) &= - \left\{ a_{(2)}^a p \cdot x + \frac{1}{3!} a_{(4)}^a (p \cdot x)^3 + \frac{1}{5!} a_{(6)}^a (p \cdot x)^5 + \dots \right\} \\ &= - \sum_{i=1}^{\infty} \frac{1}{(2i-1)!} a_{(2i)}^a (p \cdot x)^{2i-1}, \end{aligned} \quad (4.36)$$

となる。したがってこれらのは Fourier transform
は (4.19), (4.20) の定義によると

$$\begin{aligned} S^a(\xi) &= S_{(1)}^a \delta(\xi) - \frac{1}{2!} S_{(3)}^a \delta''(\xi) + \dots \\ &= \sum_{i=1}^{\infty} \frac{(-1)^{i-1}}{(2i-2)!} S_{(2i-1)}^a \delta^{(2i-2)}(\xi) \end{aligned} \quad (4.37)$$

$$\begin{aligned} A^a(\xi) &= -i \left\{ a_{(2)}^a \delta'(\xi) - \frac{1}{3!} a_{(4)}^a \delta'''(\xi) + \dots \right\} \\ &= -i \sum_{i=1}^{\infty} \frac{(-1)^{i-1}}{(2i-1)!} a_{(2i)}^a \delta^{(2i-1)}(\xi) \end{aligned} \quad (4.38)$$

となる。たとえば $\delta^{(n)}(\xi) = (d^n/d\xi^n) \delta(\xi)$

とした。我々はこれらを用いて $\langle \bar{u} u \rangle$ を和則をもとめることができる。その一つの例として有名な Adler 和則を求めてみよう。
まず (4.30) から

$$F_2^{\nu m}(\eta) - F_2^{\nu p}(\eta) = 8\eta M S^3(\eta) \quad (4.39)$$

が得られる。ただし $S^3(\eta)$ は陽子の行列要素として定義したものである。

(4.37) と (4.39) より

$$\int_{-1}^1 \frac{d\eta}{\eta} [F_2^{\nu m}(\eta) - F_2^{\nu p}(\eta)] = 8M \int_{-1}^1 S^3(\eta) d\eta$$

$$= 8M S_{(1)}^3 = 4 \quad (4.40)$$

となる。ここで我々は $M S_{(1)}^3$ が陽子のアーチスビンのスピン成分 ($1/2$) であることを使用した。とくに定義により $S^3(-\eta) = S^3(\eta)$

であるから (4.40) は physical region ($0 \leq \eta \leq 1$) に対しては

$$\int_0^1 \frac{d\eta}{\eta} [F_2^{\nu m}(\eta) - F_2^{\nu p}(\eta)] = 2 \quad (4.41)$$

とかけろ。これは Adler 和則 ((3.18) 参照)
 にほかならない。¹⁸⁾ このほかにも 3×3 の
 和則をみちびくことができることか、注意すべ
 ことはこの方法で $\int_0^1 [F_2^{ep}(\eta) - F_2^{en}] d\eta / \eta$ に対
 する和則をみちびくことはできないことであ
 る。何故ならば” (4.29) より

$$F_2^{ep}(\eta) - F_2^{en}(\eta) = \frac{4}{3} M \eta A_3(\eta) \quad (4.42)$$

となるが、定義により $A_3(-\eta) = -A_3(\eta)$ であ
 るから明らかに

$$\int_{-1}^1 d\eta A_3(\eta) = 0$$

となる。したがってこのことから $\int_0^1 d\eta A_3(\eta)$

が”どのよう”存値になつていいかもとのることはできぬ。§3 でのべたようにアーヴィングの

一トーン模型の場合には (3.17) のような和則が得られるが、この和則は実験的に大きく破れていふようくみえるので、FGM 代数の方法でこの和則をもとのことができないことは

おしろい子都合なことであるといつてもよい。

さて我々は次に核子の運動量のうち、 γ 一

クだけとどのくらいの割合を運んでいるかの
目安となる式、つまり §3 の (3.25) と同じ式

が FGM 代数の方法でも得られることを示す。
5)

まず (4.29) と (4.30) より

$$\frac{3}{4} \left\{ 6 [F_2^{ep}(\eta) + F_2^{en}(\eta)] - [F_2^{vp}(\eta) + F_2^{vn}(\eta)] \right\}$$

$$= 2\sqrt{6} M\eta A_0(\eta)$$

(4.43)

が得られる。(4.38) と (4.43) から

$$\frac{3}{4} \int_{-1}^1 d\eta \left\{ 6 [F_2^{ep}(\eta) + F_2^{en}(\eta)] - [F_2^{vp}(\eta) + F_2^{vn}(\eta)] \right\}$$

$$= 2\sqrt{6} i M a_{(2)}^0$$

(4.44)

となる。ここで我々は核子の中の γ だけ

けしかないとして、そうするとエネルギー

・モーメンタムテンソルは

No. 42

$$\begin{aligned}\theta_{\mu\nu} &= \frac{i}{2} \left\{ \bar{\gamma}_\mu \partial_\nu g + \bar{\gamma}_\nu \partial_\mu g \right\} \\ &= \frac{i}{2} \left\{ \bar{\gamma}_\mu \partial_\nu g - [\partial_\mu \bar{g}] \bar{\gamma}_\nu g \right\} \\ &\quad + \frac{i}{2} \partial_\mu [\bar{\gamma}_\nu g] \quad (4.45)\end{aligned}$$

となる。最後の項は total derivative の形に
なっていきからこれを無視すと

$$\theta_{\mu\nu} = \frac{i}{2} \left\{ \bar{\gamma}_\mu \partial_\nu g - [\partial_\mu \bar{g}] \bar{\gamma}_\nu g \right\} \quad (4.46)$$

となる。これで (4.34) の定義に戻ると

$$\begin{aligned}2a_{(2)}^0 p_p p_\alpha &= \langle p | \bar{\gamma}_p \partial_\alpha \frac{\lambda^0}{2} g - [\partial_\alpha \bar{g}] \bar{\gamma}_p \frac{\lambda^0}{2} g | p \rangle \\ &= \frac{1}{\sqrt{6}} \langle p | \bar{\gamma}_p \partial_\alpha g - [\partial_\alpha \bar{g}] \bar{\gamma}_p g | p \rangle \quad (4.47)\end{aligned}$$

であるから、これと (4.46) をくらべると

$$a_{(2)}^0 p_p p_\alpha = \frac{-i}{\sqrt{6}} \langle p | \theta_{p\alpha} | p \rangle \quad (4.48)$$

となる。ここで $\langle p | \theta_{p\alpha} | p \rangle = p_p p_\alpha / M$ であることを用ひると結局

$$a_{(2)}^0 = \frac{-i}{\sqrt{6} M} \quad (4.49)$$

したがって(4.48)と(4.49)より結局

$$\frac{3}{4} \int_{-1}^1 d\gamma \left\{ 6 [F_2^{ep}(\gamma) + F_2^{en}(\gamma)] - [F_2^{vp}(\gamma) + F_2^{vn}(\gamma)] \right\}^2 = 2.$$

それゆえ

$$\frac{3}{4} \int_0^1 d\gamma \left\{ 6 [F_2^{ep}(\gamma) + F_2^{en}(\gamma)] - [F_2^{vp}(\gamma) + F_2^{vn}(\gamma)] \right\}^2 = 1 \quad (4.50)$$

となる。つまり(4.50)の左辺が1より

どのくらい小さいかを調べることにより、エ
ネルギー運動量テンソルをなうオーフ以外
の実体がどのくらいあるかをしらべることが
できる。実験的にいうと50%近くの運動
量をオーフ以外の実体がもつてゐなければな
らないことは§3でのべた通りである。

§5. Pestieau's speculation and structure tensors

(a) Pestieau の仮説について

我々は今までの諸節で、レプトン-ハドロン散乱過程に関連してマーカーパートン模型と、FGM光円錐代数の方法について調べ、若干の問題点を指摘して来た。とりわけ §4 では Bjorken 极限に於ては座標空間における支配的な領域が光円錐の近傍であることをのべ、FGM代数を用いてレプトン-ハドロン散乱過程を記述した(4.2 参照)。

ところで Pestieau は、場の量子論では波束を用ひなければならぬということに着目し、mass-shell 上にある粒子の散乱に対するも、高エネルギーに於けるふるまいは LLCS だけで決定される可能性があることを指摘した。¹¹⁾

今例えばスカラーラ中間子と核子との前方散乱の振巾の虚部

$$J_m T = \frac{1}{2} \int d^4x e^{iqx} \langle p | [J(x), J(0)] | p \rangle \quad (5.1)$$

を考えてみよう。(5.1)は standard & reduction formula を用いて得られるもので、 $J(x)$ はスカラーフィールドの source current である。

§4 のはじめに行ったと同じ議論をくりかえすと (5.1) に於て支配的な領域は

$$|x_0 - x_3| \lesssim \frac{1}{\gamma} \quad (5.2)$$

$$\text{かつ } |x_3| \lesssim \frac{2\gamma}{m^2} \quad (5.3)$$

で特徴づけられるである。ここで m は中性子の質量であり、frame は §4 と同じよう $KP_\mu = (M, 0, 0, 0)$, $q_\mu = (\gamma, 0, 0, \sqrt{\gamma^2 - m^2})$ K となる。 (5.3) から明らかのように $\gamma \rightarrow \infty$ のときは $|x_3| \rightarrow \infty$ のことはもさうことはない。ここで Pestieau は次のことを注意した。つまり (5.1) は reduction formula に於て、空間的に規格可能である波束 $f_q^*(x)$ を平面波 $\exp(iqx)$ に書きかえて得られるものであるが、無条件にこの書き換えをすることが許されないというわけである。このことか

ら Poincaré は高エネルギーに於ても空間的な相互作用距離はいくらでもひろがることはない、ある限界があると考えた。¹¹⁾ このような考え方によると (5.3) は

$$|\alpha_3| \sim r \quad (5.4)$$

と書きなおすべきである。ここで r はある有限な量である。こうすると (5.2) と (5.4) 及び causality から、高エネルギーで gmT にきいて β 支配的な領域は

$$0 \leq x^2 \sim \frac{2r}{v} \quad (5.5)$$

となる。したがって $v \rightarrow \infty$ のときには光円錐上での $[J(x), J(0)]$ のふるまいが重要な役割をはたすことになる。もちろん以上 x のべき乗項とは証明ではなくて仮説としての意味しかもつてないが、興味あることであると思う。

そこで我々は以後この仮説をもとにいて、FGM 代数を用いて光子(中間子)-核子散乱の

全断面積の高エネルギーにおけるスケーリングを記述することを試みよう。

(b) FGM代数とスケーリングをやる子質

量について

我々は §4 で FGM 代数 κ についてかなり詳しく述べたが、今後はこの代数に scale breaking mass を導入して議論する。⁸⁾ すなわち (4.6) κ 於ける $D(x)$ を $-\Delta(x, \kappa^2)$ κ に書きかえるわけである。 κ が scale breaking mass である。このよし κ とベクトルカーレントに対する FGM 代数は

$$[j_\mu^a(x), j_\nu^b(0)] \hat{=} -[\partial^\sigma \Delta(x, \kappa^2)] S_{\mu\nu\sigma} [d_{abc} \partial_c^\sigma(x, 0) + i f_{abc} J_c^\sigma(x, 0)] + \text{axial terms}, \quad (5.6)$$

となる。ここで $\partial_c^\sigma(x, 0) = [j_c^\sigma(x, 0) - j_c^\sigma(0, x)]/2$, $J_c^\sigma(x, 0) = [j_c^\sigma(x, 0) + j_c^\sigma(0, x)]/2$ である, axial terms は今後の議論には必要ないもので書かれている。

次に ps-density $j_5^a(x)$ の光円錐近傍における
交換子を自由 Fermi モデル ($j_5^a(x) = i : \bar{q}(x) \gamma_5 \frac{\lambda^a}{2} q(x) :$)

からもとめると

$$[j_5^a(x), j_5^b(0)] \stackrel{!}{=} -[\partial^\mu \Delta(x, \kappa^2)] [d_{abc} A_\mu^c(x, 0) + i f_{abc} \delta_\mu^c(x, 0)] \quad (5.7)$$

となる。⁸⁾ (5.6) と (5.7) で導入した scale breaking mass κ は、(13)(3) が反応につけて共通であるとはせず、パラメータとして扱うことにする。我々は物理的には κ を相互作用する場に特有な effective quark mass であると考える。したがって今後これを κ_F と書くことにしよう。F は核子と相互作用する場を示す文字である。(例えは " $F = \gamma, \pi, K, \dots$ ")。

(C) 構造テンソルについて

最初に核子の構造テンソルを次のように定

No. 49

義じよう:

$$W_{\mu\nu}^{ab} = \frac{1}{2\pi} \int d^4x e^{iqx} \langle p | [j_\mu^a(x), j_\nu^b(0)] | p \rangle$$

$$= (g_\mu^a g_\nu^b - g^2 g_{\mu\nu}) V_1^{ab}$$

$$+ \{ (p_\mu g_\nu + p_\nu g_\mu) M v - p_\mu p_\nu g^2 - g_{\mu\nu} M^2 v^2 \} V_2^{ab}, \quad (5.8)$$

$$B^{ab} = \int d^4x e^{iqx} \langle p | [j_5^a(x), j_5^b(0)] | p \rangle. \quad (5.9)$$

我々は (5.6), (5.7) をつかって (5.8), (5.9)
への LLCS からの寄与を計算する。 §4 で注意
したように (5.6) はゲージ不变性をみたして
いいながら、ゲージ不变性を破る項は Regge
極限 ($v \rightarrow \infty$, q^2 : fixed), または Bjorken 極限
では無視できるようになる。

今

$$\langle p | \delta_c^\alpha(x, 0) | p \rangle$$

$$= p^\alpha \int \exp(iq p \cdot x) S_c(\xi) d\xi + \text{non-leading terms}, \quad (5.10)$$

$$\langle p | \partial_c^\sigma(x, 0) | p \rangle$$

$$= p^0 \int \exp(i\xi p \cdot x) A_c(\xi) d\xi + \text{non-leading terms} \quad (5.11)$$

ここで $S_c(\xi)$ と $A_c(\xi)$ を定義する。そうす
ると §4. とま、たく同じようくして LICS か
らの寄与は次のようになる。ただし ν は充分
大きいものとする。

$$\nabla_1^{ab} = 0, \quad (5.12a)$$

$$T_2^{ab} = \frac{1}{2M^3 \eta \sqrt{\nu^2 + \kappa_F^2 - q^2}} F_2^{ab}(\eta), \quad (5.12b)$$

$$B^{ab} = \frac{\pi}{M\eta} F_2^{ab}(\eta), \quad (5.13)$$

ここで

$$\eta = \frac{1}{M} (-\nu + \sqrt{\nu^2 + \kappa_F^2 - q^2}) \xrightarrow{\nu \rightarrow \infty} \frac{\kappa_F^2 - q^2}{2M\nu}. \quad (5.14)$$

これらの式で $F_2^{ab}(\eta)$ は (4.26) で与えられ
てあるように、重非弹性レpton-ihadron 散
乱ではかられ 3 構造関数である。⁵⁾ ただし scale
breaking mass を導入したため η の表式は

§4 とは少し異なつる。

§6. On the nucleon Compton scattering

この節では核子のコントン散乱の全断面積の高エネルギーに於けるふらまいが LLCS によって決定されるといふ見地に立ち、前節の結果(5.12)を用いて分析してみる。まず核子のコントン散乱の全断面積は、上の仮定によれば高エネルギーに於ては

$$\sigma_{\gamma N}(\nu) = \frac{4\pi^2 \alpha}{\kappa_\gamma^2} F_2^{\text{eN}} \left(\frac{\kappa_\gamma^2}{2M\nu} \right) \quad (6.1)$$

とかけざ。したがつて

$$\sigma_{\gamma p}(\nu) - \sigma_{\gamma n}(\nu) = \frac{4\pi^2 \alpha}{\kappa_\gamma^2} \Delta F_2^{\text{eN}} \left(\frac{\kappa_\gamma^2}{2M\nu} \right). \quad (6.2)$$

ここで SLAC に於けるデータ¹⁾(1.2) と、コントン散乱のデータ²²⁾

$$\sigma_{\gamma p}(\nu) - \sigma_{\gamma n}(\nu) = \frac{24.6}{\sqrt{\nu}} \mu b$$

を用いると、(6.2) より 電磁相互作用に対する
3核子内の effective quark mass κ_γ は

$$\kappa_\gamma = 335 \text{ MeV} \quad (6.3)$$

と決まる。これは scale breaking mass が存在
の小さいことを意味していふが、このことは
非弾性 eN 散乱で早くから Bjorken の scaling
rule が成立していふことと一致していふ。¹⁾ 更
 κ_γ が $M/\mu_p = 336 \text{ MeV}$ にほとんど一致し
ていふのは偶然かも知れないが、極めておど
ろくべきことである。 μ_p は陽子の磁気モ
ーメントである。 M/μ_p という質量は、
クーローク模型で核子の磁気モーメントの絶対値
を説明するときに必要なクーロークの質量である
ことは周知のところである。 κ_γ と M/μ_p と
の驚的ともいえ一致によつて、我々は核子
の電磁相互作用は 335 MeV といふ effective
quark mass による特徴づけられてゐるとい
ふ、てもよいと思う。

次に Diffractive component と LLCS によつ

てきまるといふ我々の仮定によれば、

$\sigma_{\gamma N}(\infty) \approx 100 \mu b$ といふデータを用ひること
により eN 散乱の構造関数の漸近値は

$$F_2^{eN}(0) = 0.1 \quad (6.4)$$

と予言される。

ここで注意しなければならないのは (6.1) と
(6.4) 及び SLAC の $ep\bar{\nu}$ -タ (Fig. 1)¹⁾ によれば、
 $F_2^{eN}(\eta)$ への所謂 Pomeron からの寄与が、かね
て η に依存する項をもたらすことをえないといふ
ことである。今この Pomeron からの寄与を
次のようにはじめよう (4.29) 参照)。

$$M\eta \frac{4}{3} \sqrt{\frac{2}{3}} A_0(\eta) = D(\eta) + 0.1 \quad (\eta : \text{小}) \quad (6.5)$$

ただし $D(0) = 0$ 。もし $D(\eta) = 0$ であるな
らば我々は γp の $\bar{\nu}$ -タ²²⁾

$$\sigma_{\gamma p}(\nu) = 94 + \frac{79}{\sqrt{\nu}} \mu b$$

と (6.1) を用いて $\eta \sim 0.1$ あたりに於ける
 $F_2^{eP}(\eta)$ を再現するこことはでなま。

しかしながら現在の ep データの正確さの範囲内に於ては、 $D(\eta)$ は $\eta \gtrsim 0.03$ (すなわち $w = 1/\eta$ とするとき $w \lesssim 33$) で無視できないといふことを要むするだけで充分である。

(5.14)によれば " $\eta \lesssim 0.03$ という領域はコンアントン散乱における $\nu \gtrsim 2\text{GeV}$ なるエネルギー一領域に相当する。 $\nu \gtrsim 2\text{GeV}$ というのはだいたい、普通の Regge parametrization が正当化されるエネルギー一領域であるとみなしてよいだろ。したがつてもし $D(\eta)$ が $\eta \lesssim 0.03$ で無視できるようなものであれば、この項はコンアントン散乱 (あるいは他のハードロン散乱) の高エネルギーにおける η に対しては何ら影響を与えることはない。一つのありうる例としては次のようなものがあげられる。

$$D(\eta) = D_0(\eta) \sqrt{\eta} \quad (6.6)$$

ここで " $D_0(\eta)$ " は $D_0(0.1) = 0.47$ をみたし、 $\eta \lesssim 0.03$ では早く減少する関数である。

Pomeron からの寄与が η 依存性をもつて

3といふことは、3つ¹⁾の Regge 理論から見る
と望ましくないことだが、つくとも上のよう
なメカニズムの可能性は否定することはでき
ない。

§7. On the ps-meson-nucleon collisions

この節では擬スカラーハイドロノン-核子散乱の全
断面積の高エネルギーにおける3次元性を、
LLCS からの寄与で記述することを試みる。
最初にこの過程の光円錐近傍での3, 3子²⁾は
 $(\Box + m_\phi^2) \Phi_a(x) = -2g j_5^a(x)$ で特徴づけられる
ことを仮定しよう³⁾。ここで Φ_a は ps- 中間子場、
 m_ϕ はその質量、 g は $\phi\eta\eta$ の擬スカラーハイ
ドロノン結合定数である。 g は種々の ps- 中間子に
対して共通であると仮定する。

そうすると $\Phi_a N$ 散乱の全断面積は高エネルギー
一に於ては (5.13) を用ひることにより

No. 56

$$\bar{\sigma}_{\phi_{aN}}(v) = \frac{4\pi g^2}{\kappa_\phi^2 - m_\phi^2} F_2 \left(\frac{\kappa_\phi^2 - m_\phi^2}{2Mv} \right) \quad (7.1)$$

であったからこれることになる。次にい3. 113
な過程の断面積を(4.29)または(4.30)と関係づけたために, $dabc A_c + ifabc S_0$ が具体的にどのようになるかまとめておこう:

$$\pi^- N ; \sqrt{2/3} A_0 + (1/\sqrt{3}) A_8 + S_3, \quad (7.2a)$$

$$\pi^+ N ; \sqrt{2/3} A_0 + (1/\sqrt{3}) A_8 - S_3, \quad (7.2b)$$

$$\pi^0 N ; \sqrt{2/3} A_0 + (1/\sqrt{3}) A_8, \quad (7.2c)$$

$$K^- N ; (1/2) S_3 + \sqrt{3/2} S_8 + (1/2) A_3 + \sqrt{2/3} A_0 - (1/2\sqrt{3}) A_8, \quad (7.2d)$$

$$K^+ N ; -(1/2) S_3 - \sqrt{3/2} S_8 + (1/2) A_3 + \sqrt{2/3} A_0 - (1/2\sqrt{3}) A_8, \quad (7.2e)$$

$$\bar{K}^0 N ; -(1/2) S_3 + \sqrt{3/2} S_8 - (1/2) A_3 + \sqrt{2/3} A_0 - (1/2\sqrt{3}) A_8, \quad (7.2f)$$

$$K^0 N ; (1/2) S_3 - \sqrt{3/2} S_8 - (1/2) A_3 + \sqrt{2/3} A_0 - (1/2\sqrt{3}) A_8. \quad (7.2g)$$

(4.29), (4.30), (7.1), (7.2) を用い3. 113 と具体的な物理過程の高エネルギーにおける表式として次の式が得られる。

$$\sigma_{\pi^- p}(v) = \frac{g^2}{4\pi} \frac{4\pi^2}{\kappa_\pi^2 - m_\pi^2} F_2 \left(\frac{\kappa_\pi^2 - m_\pi^2}{2Mv} \right), \quad (7.3a)$$

No. 57

$$\sigma_{\pi^+ p}(\nu) = \frac{g^2}{4\pi} \frac{4\pi^2}{\kappa_\pi^2 - m_\pi^2} F_2^{\nu p} \left(\frac{\kappa_\pi^2 - m_\pi^2}{2M\nu} \right), \quad (7.3b)$$

$$\sigma_{\pi^- p}(\nu) - \sigma_{\pi^+ p}(\nu) = \frac{g^2}{4\pi} \frac{4\pi^2}{\kappa_\pi^2 - m_\pi^2} \left\{ F_2^{\nu n} \left(\frac{\kappa_\pi^2 - m_\pi^2}{2M\nu} \right) - F_2^{\nu p} \left(\frac{\kappa_\pi^2 - m_\pi^2}{2M\nu} \right) \right\}, \quad (7.4)$$

$$\begin{aligned} & \sigma_{K^- p}(\nu) + \sigma_{K^+ n}(\nu) - \sigma_{K^- n}(\nu) - \sigma_{K^+ p}(\nu) \\ &= \frac{g^2}{4\pi} \frac{4\pi^2}{\kappa_K^2 - m_K^2} \left\{ F_2^{\nu n} \left(\frac{\kappa_K^2 - m_K^2}{2M\nu} \right) - F_2^{\nu p} \left(\frac{\kappa_K^2 - m_K^2}{2M\nu} \right) \right\}, \end{aligned} \quad (7.5)$$

$$\begin{aligned} & \sigma_{K^- p}(\nu) + \sigma_{K^+ p}(\nu) - \sigma_{K^- n}(\nu) - \sigma_{K^+ n}(\nu) \\ &= \frac{g^2}{4\pi} \frac{4\pi^2}{\kappa_K^2 - m_K^2} 6 \Delta F_2^{eN} \left(\frac{\kappa_K^2 - m_K^2}{2M\nu} \right), \end{aligned} \quad (7.6)$$

$$\begin{aligned} & \frac{\kappa_\pi^2 - m_\pi^2}{18\pi^2} \left\{ \sigma_{\pi^- p}(\infty) + \sigma_{\pi^+ p}(\infty) \right\} \\ &+ \frac{\kappa_K^2 - m_K^2}{72\pi^2} \left\{ \sigma_{K^- p}(\infty) + \sigma_{K^+ p}(\infty) + \sigma_{K^- n}(\infty) + \sigma_{K^+ n}(\infty) \right\} \\ &= \frac{g^2}{4\pi} \left\{ F_2^{ep}(0) + F_2^{en}(0) \right\}. \end{aligned} \quad (7.7)$$

実験的には (7.5) と (7.6) の左边は高エネルギー
 $\rightarrow (\nu \geq 2 \text{GeV})$ に於てともに $5.65 / \sqrt{\nu} \text{ mb}$
 である。²⁴⁾ したがって少くとも η が小さい時
 には $F_2^{\nu m}(\eta) - F_2^{\nu p}(\eta) = 6 \Delta F_2^{eN}(\eta)$ でなければなら
 ない。ところですべての η ($0 \leq \eta \leq 1$) に対する
 してこの式が成立するとしてすれば, Adler 和則¹⁸⁾
 (4.41) により

$$\int_0^1 \Delta F_2^{eN}(\eta) \frac{d\eta}{\eta} = \frac{1}{3}$$

でなければならぬことになる。しかし今
 がら 83 でのべたようにこの和則は実験的に
 は破れているようくみえる。¹⁹⁾ 我々はこの困
 難をさけるために次のようく仮定しよう。

$$F_2^{\nu m}(\eta) - F_2^{\nu p}(\eta) = 6 \Delta F_2^{eN}(\eta) = 0.6 \sqrt{\eta} \quad (0 \leq \eta \leq \eta_0), \quad (7.8a)$$

$$F_2^{\nu m}(\eta) - F_2^{\nu p}(\eta) \geq 6 \Delta F_2^{eN}(\eta) \quad (\eta_0 < \eta \leq 1), \quad (7.8b)$$

η_0 はあとで決定され 3.

さて、ハドロン散乱のデータ²⁴⁾

$$\sigma_{\pi^- p}(\nu) - \sigma_{\pi^+ p}(\nu) = 6.4 / \sqrt{\nu} \text{ mb},$$

$$\sigma_{K-p}(v) + \sigma_{K+p}(v) - \sigma_{K+m}(v) - \sigma_{K-m}(v) = 5.65 / \sqrt{v} \text{ mb},$$

$$\sigma_{\pi N}(\infty) = 21.3 \text{ mb}, \quad \sigma_{KN}(\infty) = 17.1 \text{ mb},$$

及び (1.2), (6.4) を用いて, (7.4), (7.6),

(7.7) を $\kappa_\pi, \kappa_K, g^2/4\pi$ について解くこととする
しよう。結果は

$$\kappa_\pi = 246 \text{ MeV}, \quad \kappa_K = 544 \text{ MeV}, \quad (7.9)$$

$$\frac{g^2}{4\pi} = 0.2 \quad (7.10)$$

となる。

次にこうして得られた $\kappa_\pi, g^2/4\pi$ を (7.3a)
または (7.3b) に代入するところより我々は
 γN 散乱の構造関数の漸近値を

$$F_2^{VN}(0) = 0.3 \quad (7.11)$$

と予言することができた。 (6.4) と (7.11) は要
請されていきる関係式 $F_2^{VN}(0) = 3 F_2^{eN}(0)$
((4.29), (4.30) 参照) を完全にみなし
てここに我々は注目したい。

また (7.8) 式に於ける η_0 は (5.14) で $\eta_K = 544 \text{ MeV}$,
 $v \approx 2 \text{ GeV}$ を代入することにより $\eta_0 \approx 0.014$
 となる。

さて (7.9), (7.10) のように ハーフメータを之ら
 べば 擬スカラーニ中間子核子散乱の全断面積の
 高エネルギーにおける η_0 が矛盾なく
 LLCS からの寄与で記述できることかであるか,
 (7.10) で与えられている $\phi_{\pi\pi}^{\text{PS}}$ -結合定数
 は, 普通の πNN PS-結合定数 $g_{\pi NN}$
 $(g_{\pi NN}^2 / 4\pi \approx 14.64)$ ²⁵⁾ にくらべて非常に小
 さくなっている。このことは一見おかしな
 ことだといえどかも知れない。しかしながら
 ら我々は $\phi_{\pi\pi}^{\text{PS}}$ 及び $\phi_{\pi NN}$ の軸性ベクトル結合
 定数 $g_{A\pi\pi}$, g_{ANN} を静的(非相対論的)
 SU(6) 模型で考えることにより

$$\frac{g^2}{4\pi} = \frac{9}{25} \left(\frac{m_g}{M} \right)^2 \frac{g_{\pi NN}^2}{4\pi} \quad (7.12)$$

を得ることがでできる。⁸⁾ m_g は π -
 の質量である。この式は $g_{A\pi\pi} = g_{V\pi\pi}$
 なる仮定をしないでも得られるものである。²⁶⁾

ここでは $g_{\pi NN}$ は $\pi - \eta$ のベータル結合定数で
ある。

さて (7.12) で、 $M_\eta \approx \kappa_\pi$, $g_{\pi NN}^2 / 4\pi \approx 14.64$
とすと $g^2 / 4\pi \approx 0.36$ となる。これは
(7.10) の値と同程度のオーダーであり、今く
とも $g^2 / 4\pi$ が $g_{\pi NN}^2 / 4\pi$ に比べて非常に小
さくても不思議ではないことを示すことができる
よう。

§8. Concluding remarks

我々は §2 ~ §4 でレpton・hadron 散乱過
程について注目を払い、この過程に密接な関
連をもちながら発展してきた。オーフ・パート
ン模型と、FGM 光円錐代数について主要な
ことからをまとめると共に、2~3 の問題点
を指摘してきた。また §5 ~ §7 では Peticau
の仮説と現在の SLAC における eN 散乱の実
験結果を基礎として、光子(中間子)-核子散

乱の全断面積の高エネルギーに於けるふるまいを FGM 代数で記述することを試みた。

この最後の節では我々は主として §5~§7 で得られた諸結果について若干の注意と評価を行なうこととする。

(1) 我々は高エネルギー散乱過程はほとんど LLCS だけで決定される可能性があるといふ Petican の仮説にもとづいて、光子(中性子)-核子散乱の全断面積の高エネルギーに於けるふるまいを FGM 代数で記述することを試みた。結果として適当な scale breaking mass を導入することにより、LLCS からの寄与でこれらのがエネルギーにおけるふるまいを理解できることを示した。導入された scale breaking mass は相互作用する場に特有な effective quark mass であると解釈されたが、とりわけ電磁相互作用に対する effective quark mass (核子中の) が M/m_p ($m_p = 2.79$) とほとんど完全に一致したことには注目に値することである。

他の他の effective quark mass (例えは $\chi_\pi = 246$ MeV) については、それらについてこれまで
入った議論をすることはできない。

(2) 我々の分析の全過程に於て、 $\Delta F_2^{eN}(\gamma)$ の漸近的ふるまい (1.2) は決定的な役割を果してい。實際、JO の分析との差異は主としてこの漸近的ふるまいのちがいから生じてく。我々のアプローチで最も重要なのは、それがコンプトン散乱またはハドロン散乱の全断面積の高エネルギーに於けるふるまいに対して影響を与えないわけではあるけれども、どうしても $F_2^{ab}(\gamma)$ への所謂 Pomeron contribution がかなり γ に依存する項をもたらすを得ないという事である。これは (1.2) と、LLCS が支配的であるといふ仮定との直接の結果である。もし (1.2) が将来の実験によって動かし難い事実として確立されたならば、我々のように γ に依存する Pomeron からの寄与が存在することを認めると、あるいはそもそも FGM 代数でハドロ

ノイズを記述することはだめだ"といふことを認めざるを得ないであつた。

次に, Diffractive component (: Pomeron contribution) もまだ LLCS よりて予言ど
いう我々の仮定により $F_2^{eN}(0)=0.1$ といふ
予言が得られたか, 言葉をかえていふと我々
のこの仮定は $F_2^{eN}(0)=0.1$ が本当にであるかと
うかよく大きく依存してゐることになつた。
従つて $F_2^{eN}(0)$ の値を実験的に調べることは,
 $\Delta F_2^{eN}(\eta)$ のふさまでの問題とともに非常に重
要である。

(3) I.O. は "resonances + continuum" で特徴づけ
られ, ハドロン反応に対する新しい想像を
提示した。⁸⁾ この想像は, 彼らの分析で得ら
れた scale breaking mass がかなり大きかつ
たこと ($\pi \approx 1.5 \text{ GeV}$) からみちびきだされ
たものである。しかしながら我々の分析で
は, 得られた scale breaking mass が全部小
さいので, 我々のやり方を低エネルギー領域
まで外挿することはできない。何故なら,

もしも $v^2 - m^2$ ^{-1/2} したら運動学的因素から
生じてくる発散の問題を避けることができる
からである。したがって我々は, LLCS
にもとづいた議論は高エネルギーにおける
すまいに廻してのみ意味をもつという立場を
とることにする。

(4) 我々の分析によつて得られた $\phi_{\pi N}$ ps-結合
定数は, ふつうの πNN 反応に対するそれと
比べて非常に小さいか, 我々はこの問題を
SU(6) 模型での関係式(7.12)を用ひることに
よつて説明した。物理的にはこの事情は次
のように説明できるである。すなわち低
エネルギーでは ps-中間子は核子全体と結合
し, そのときの結合定数が $g_{\pi NN}$ であると考
えよ (coherent picture). ところが高エネ
ルギーでは核子の構成要素の性質が重要な役
割を果たし, 反応は $\phi_{\pi N}$ 結合によつて行われ
るである (incoherent picture). そのときの
結合定数が g ($g^2/4\pi \approx 0.2$) であると考え
られる。

(5) 最後に我々は (7.5), (7.6) 及び Adler 和則から仮定された式 (7.8) について一つの注意をしたい。この式は (4.29), (4.30) から明らかにようべく

$$A_3^P(\eta) = S_3^P(\eta) \quad (0 \leq \eta \leq 0.014), \quad (8.1a)$$

$$A_3^P(\eta) \leq S_3^P(\eta) \quad (0.014 \leq \eta \leq 1), \quad (8.1b)$$

と同等である。ここで我々は S_3 及び A_3 が陽子の行列要素として定義されたものである

ことを明示するため上つきのえ字下をつけた。 (8.1) は $0.014 \leq \eta \leq 1$ では A_2^P 及

\bar{v}^P Regge trajectories に対する交換縮退の関係式 $A_3(\eta) = \epsilon(\eta) S_3(\eta)$ が破れていることを

示している。この仮定のもとでは Adler 和則は $1 \leq \omega \leq 70$ の範囲で約 90% までみだされていことがある。Sakurai たちが指摘

したように、このようなことかおこすために $F_2^{VP}(\eta)$ または $F_2^{VM}(\eta)$ が ω の小さなところ

で非常にあかしなるまいをしてなければならぬ。¹⁷⁾ 実際, Iizuka, Kobayashi, Nitto の

9) ²⁷⁾ 模型や Kuti, Weisskopf の模型では Adler 和則は非常にやりくり saturate することになり、
ている。Adler 和則が実際に成立していいのかどうか、成立していいとすればどのような saturation の仕方をするかということは理論的に非常に重大な問題であるが、我々は早く saturate することが実験的にたしかめられて、
我々のアプローチが支持されたことを期待したい。

REFERENCES

- 1) E. D. Bloom et al., Phys. Rev. Lett. 23 (1969), 930.
 H. Breidenbach et al., Phys. Rev. Lett. 23 (1969), 935.
 E. D. Bloom et al., Report presented at the 15-th International Conference on High Energy Physics, Kiev, U.S.S.R. (1970), SLAC-PUB-796.
- H. W. Kendall, Proceedings of 1971 International Symposium on Electron and Photon Interactions at High Energies, (Cornell Univ., N.Y. 1971).
- G. Miller et al., Phys. Rev. D5 (1972), 528.
- A. Bodek et al., Phys. Rev. Lett. 30 (1973), 1087.
- 2) J. D. Bjorken, Phys. Rev. 179 (1969), 1547.
- 3) R. P. Feynman, Proceedings of the 3rd Conference on High Energy Collisions at Stony Brook (Gordon and Breach, 1970).
- J. D. Bjorken and E. A. Paschos, Phys. Rev. 185 (1969), 1975.
- S. D. Drell, D. J. Levy and T. M. Yan, Phys. Rev. 187 (1969), 2159.

- 4) H. Leutwyler and J. Stern, Nucl. Phys. B20(1970), 77.
R. Jackiw, R. van Royen and G. B. West,
Phys. Rev. D2(1970), 2473.
R. A. Brandt, Phys. Lett. 33B(1970), 312.
Y. Frishman, Ann. of Phys. 66(1971), 373.
R. A. Brandt and G. Preparata, Nucl. Phys.
B27(1971), 541.
- 5) H. Fritzsch and M. Gell-Mann, Talk presented
at International Conference on Duality and
Symmetry, (Tel-Aviv, Israel, 1971).
- J. M. Cornwall and R. Jackiw, Phys. Rev.
D4(1971), 367.
D. J. Gross and S. B. Treiman, Phys. Rev.
D4(1971), 1059.
- 6) R. A. Brandt and C. Orzalesi, Phys. Lett.
34B(1971), 641.
- 7) T. Das, L. K. Pandit and P. Roy, Nucl. Phys.
B53(1973), 567.
- 8) J. Iizuka and H. Okamura, Prog. Theor. Phys.
49(1973), 622.

- 9) J. Iouka, M. Kobayashi and H. Nitto,
Prog. Theor. Phys. 45 (1971), 482.
- 10) A. Kakuto and H. Senju, Prog. Theor. Phys.
49 (1973), 957. ; 50 (1973), 250.
- 11) J. Pestieau, Phys. Rev. D4 (1971), 1827.
- 12) S. D. Drell and J. D. Walecka, Ann. of Phys.
28 (1964), 18.
- 13) H. Senju and A. Kakuto, Prog. Theor. Phys.
48 (1972), 272.
- 14) R. P. Feynman, Talk given at Neutrino
'72 Conference, Balatonfured, Hungary,
1972. ; Photon-Hadron Interactions,
(W. A. Benjamin, INC. 1972).
- 15) C. G. Callan and D. J. Gross, Phys. Rev. Lett.
22 (1969), 156.
- 16) E. D. Bloom and F. J. Gilman, Phys. Rev. Lett.
25 (1970), 1140; Phys. Rev. D4 (1971), 2901.
- 17) J. J. Sakurai, H. B. Thacker and S. F. Tuan,
Nucl. Phys. B48 (1972), 353.

- 18) S.L. Adler, Phys. Rev. 143 (1966), 1144.
- 19) I. Budagov et al., Phys. Lett. 30B (1969), 364.
T. Eichten et al., Phys. Lett. 46B (1973), 28
; 46B (1973), 274.
- A. Benvenuti et al., Phys. Rev. Lett. 30 (1973), 1084.
- B.C. Barish et al., Phys. Rev. Lett. 31 (1973), 565.
- C. Franzinetti, Talk given at International Symposium on Electron and Photon Interactions at High Energies, Bonn 1973.
- 20) C.H.L. Smith, Nucl. Phys. B17 (1970), 227.
- 21) H. Senju, Prog. Theor. Phys. 46 (1971), 550.
- 22) W.P. Hesse et al., Phys. Rev. Lett. 25 (1970), 613.
- 23) H.D.I. Abarbanel, M.L. Goldberger and
S.B. Treiman, Phys. Rev. Lett. 22 (1969), 500.
- 24) T. Barger and R.J.N. Phillips, Nucl. Phys. B32 (1971), 93.
- 25) G. Ebel et al., Nucl. Phys. B33 (1971), 317.

26) F. Gürsey, A. Pais and L. A. Radicati,

Phys. Rev. Lett. 13 (1964), 299.

27) J. Kuti and V. F. Weisskopf, Phys. Rev. D4 (1971), 3418.

FIGURE CAPTIONS

Fig.1a. 構造関数 MW_1^{ep} の SLAC での実験データ.

Fig.1b. 構造関数 νW_2^{ep} の SLAC での実験データ

Fig.2. $\nu W_2^{ep} - \nu W_2^{em} = F_2^{ep} - F_2^{em}$ の SLAC における
実験データ

Fig.3. レプトン-ハドロン散乱の Kinematics.

ℓ は始状態のレプトン, ℓ' は終状態

のレプトン, N は核子を意味し, E は

レプトンの実験室系でのエネルギー,

p は核子の運動量である.

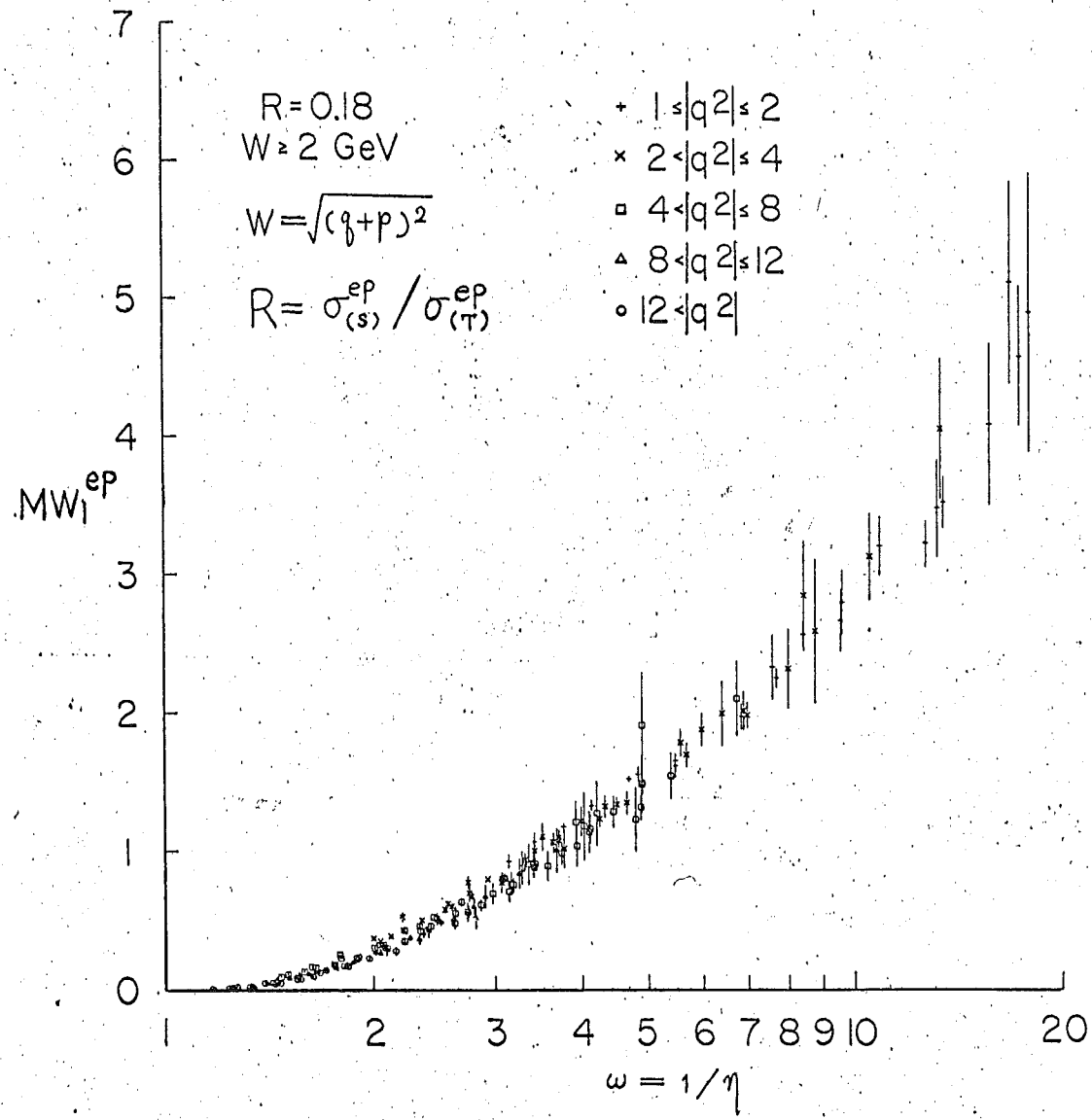


FIG 1a

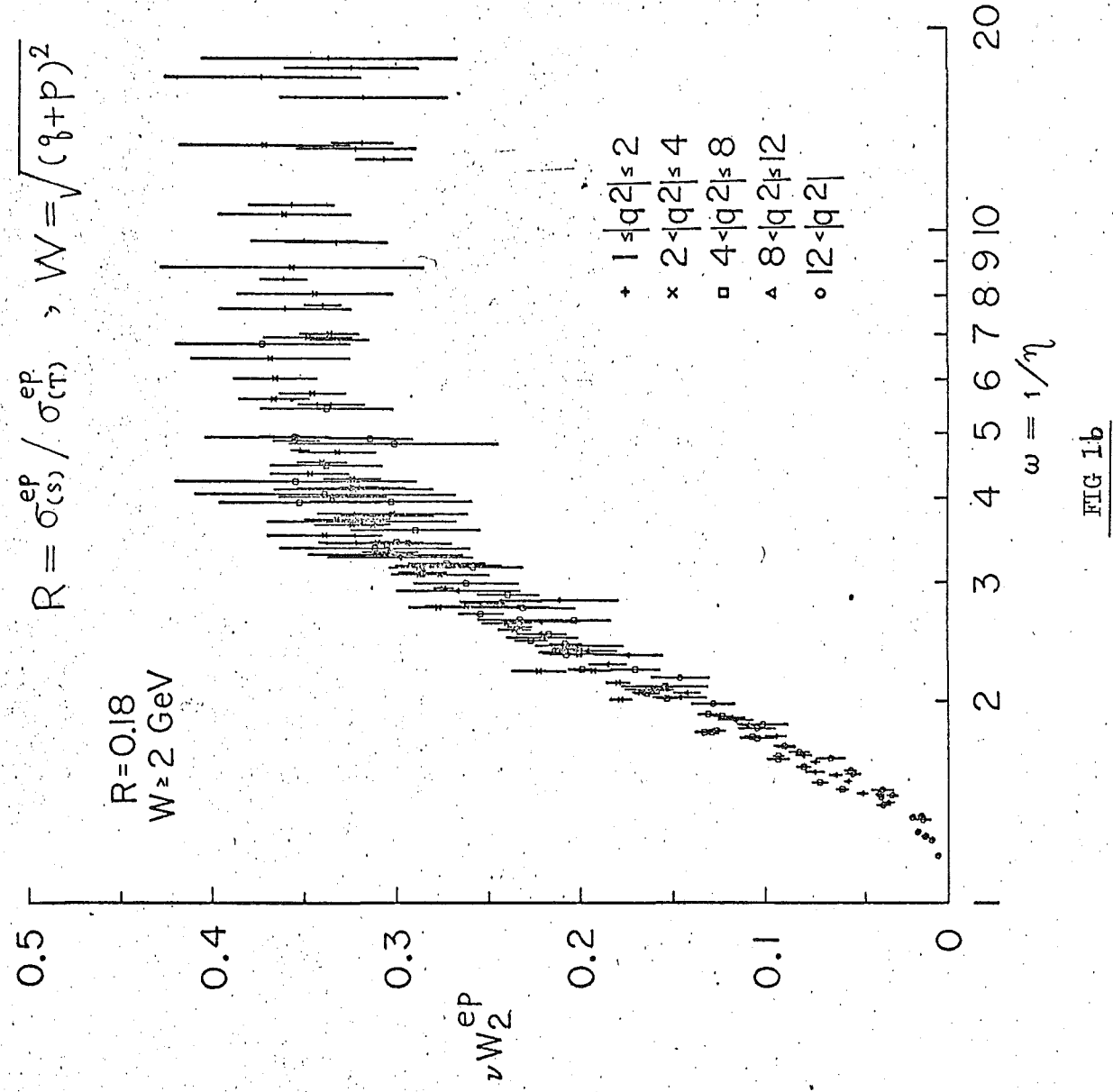


FIG 1b

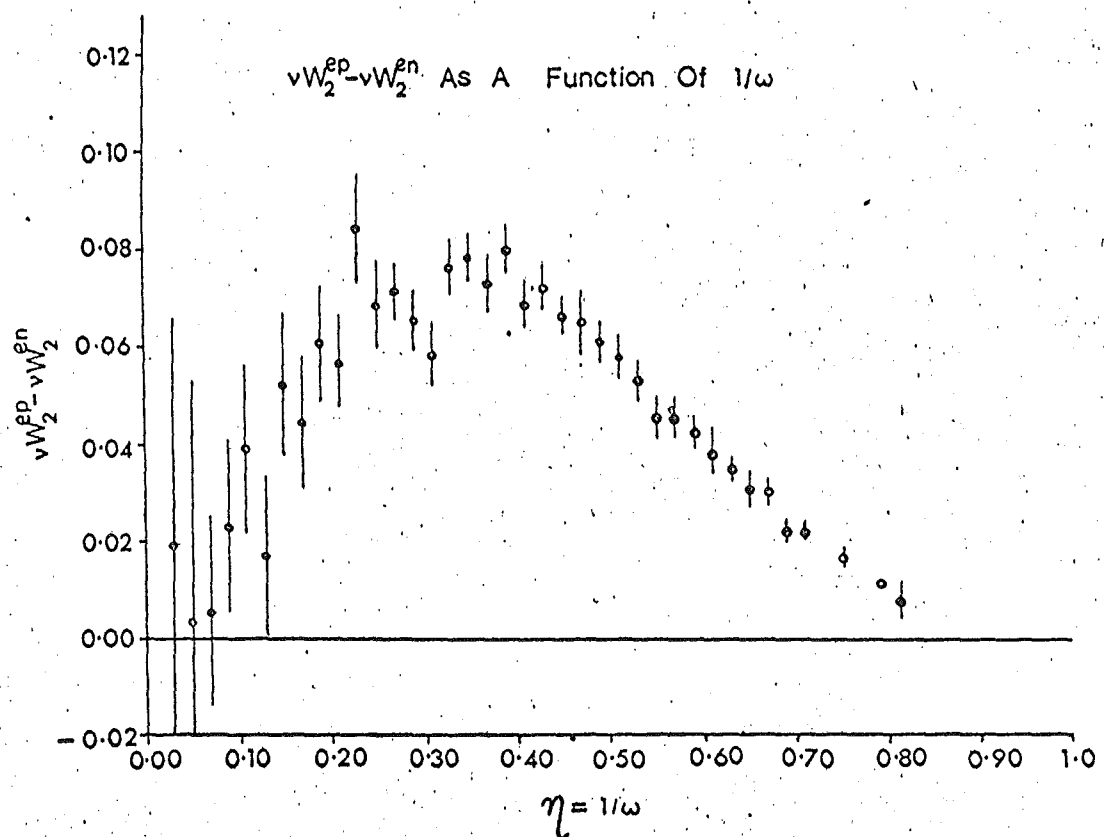


Fig.2

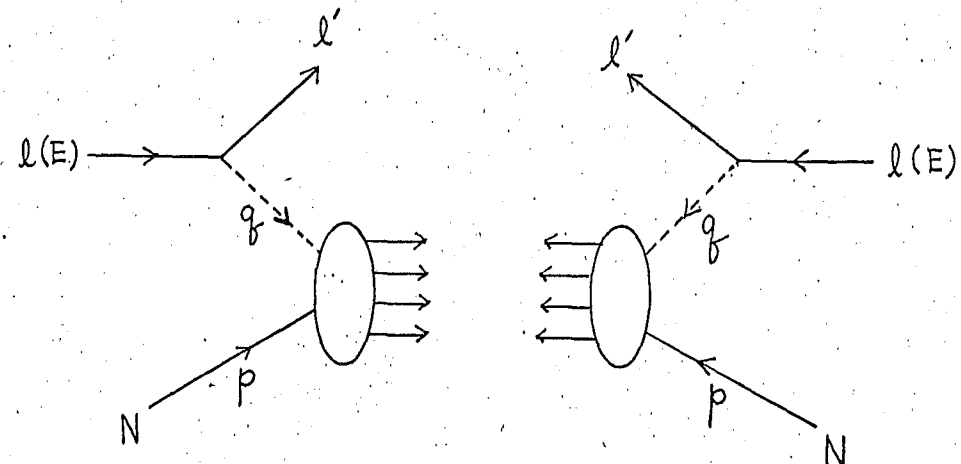


Fig.3

報告番号

※ 甲第 853 号

主論文の要旨

題名 ハーテン模型と
光円錐代数について

氏名 田原亮